

Квантовая макрофизика.

Лекция 9:

Электродинамика сверхпроводников.

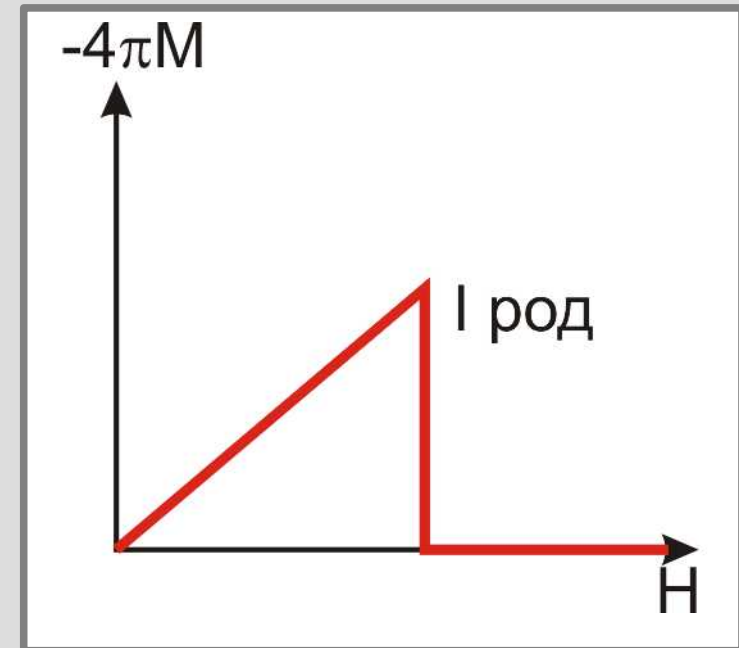
Основы микроскопии сверхпроводников.

Сверхпроводники II рода.

Часть 1. Уравнения Лондонов

Связь свободной энергии сверхпроводника с полем разрушения сверхпроводимости.

Сверхпроводник первого рода
идеальный диамагнетик вплоть
до поля разрушения
сверхпроводимости.



$$f_s(H, T) = f_s(H=0, T) + \frac{1}{8\pi} H^2 = f_{s0}(T) + \frac{1}{8\pi} H^2$$

Уравнения Лондонов.

двухжидкостная модель+
модель свободных электронов:

$$n = n_n + n_s$$

Уравнения Лондонов.

двухжидкостная модель+
модель свободных электронов:

$$n = n_n + n_s$$

$$\vec{j}_s = -e n_s \vec{V}_s$$
$$m \frac{d\vec{V}_s}{dt} = -e \vec{E}$$
$$\frac{d\vec{j}_s}{dt} = \frac{n_s e^2}{m} \vec{E}$$

Уравнения Лондонов.

двухжидкостная модель+
модель свободных электронов:

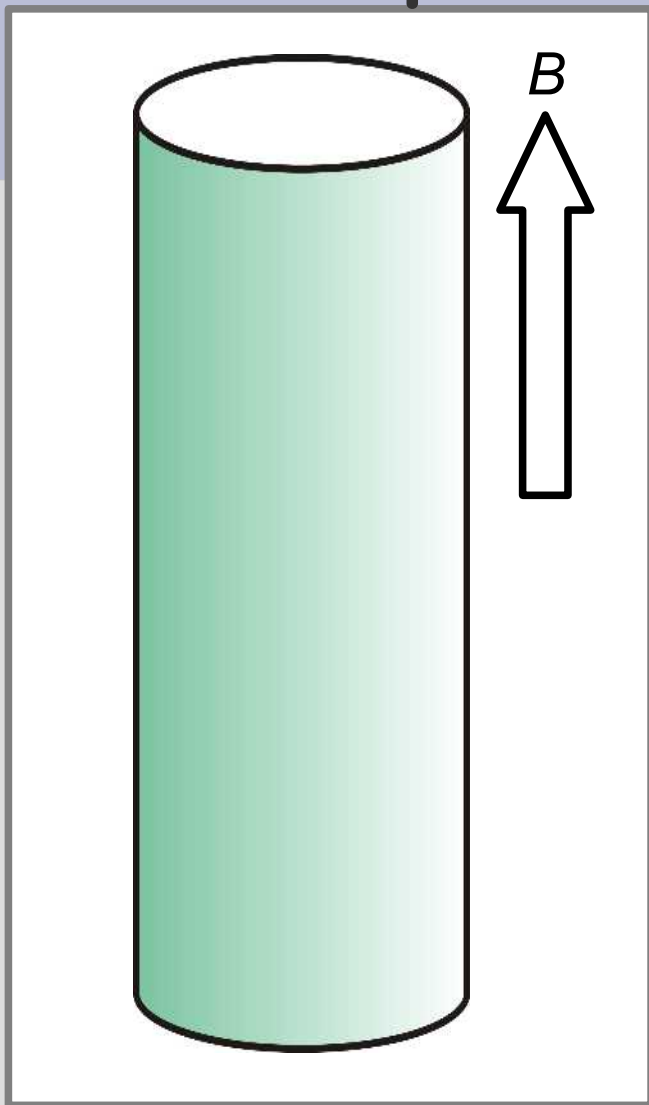
$$n = n_n + n_s$$

В стационарных условиях
напряжённость
электрического поля внутри
сверхпроводника равна
нулю

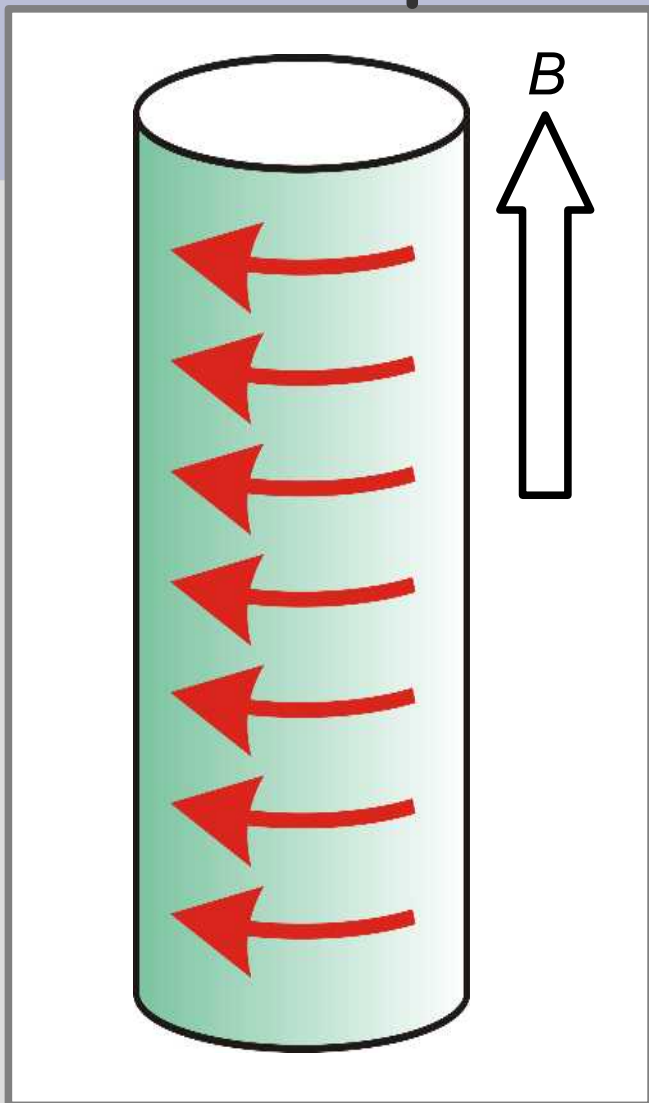
$$\vec{j}_s =$$
$$m \frac{d}{dt}$$

$$\frac{d \vec{j}_s}{dt} = \frac{n_s e^2}{m} \vec{E}$$

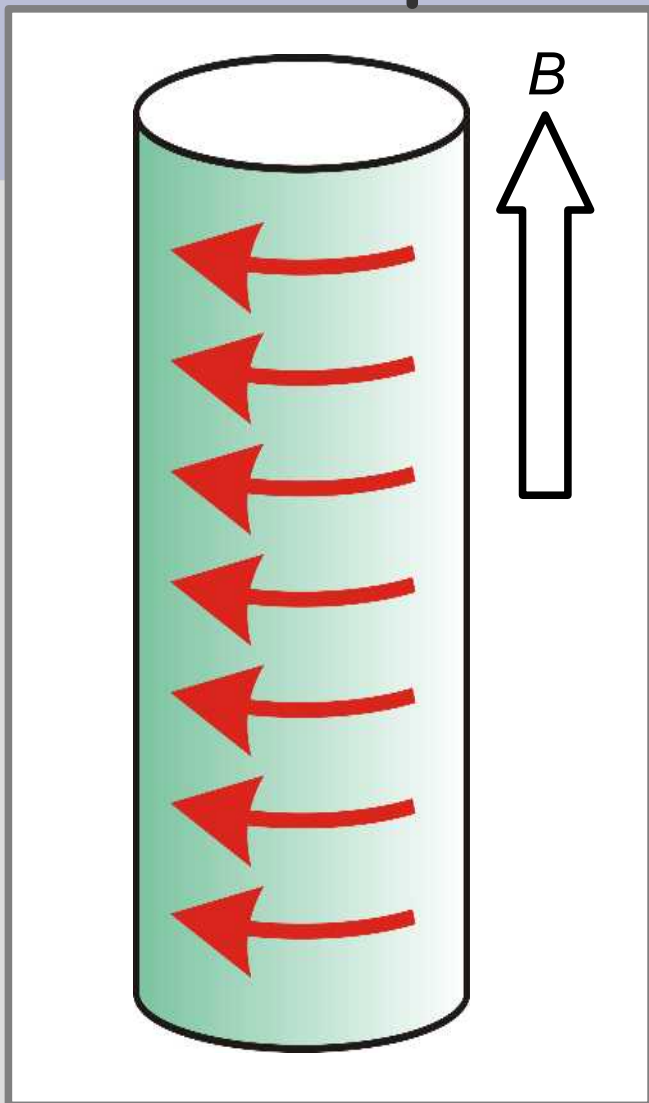
Уравнения Лондонов.



Уравнения Лондонов.

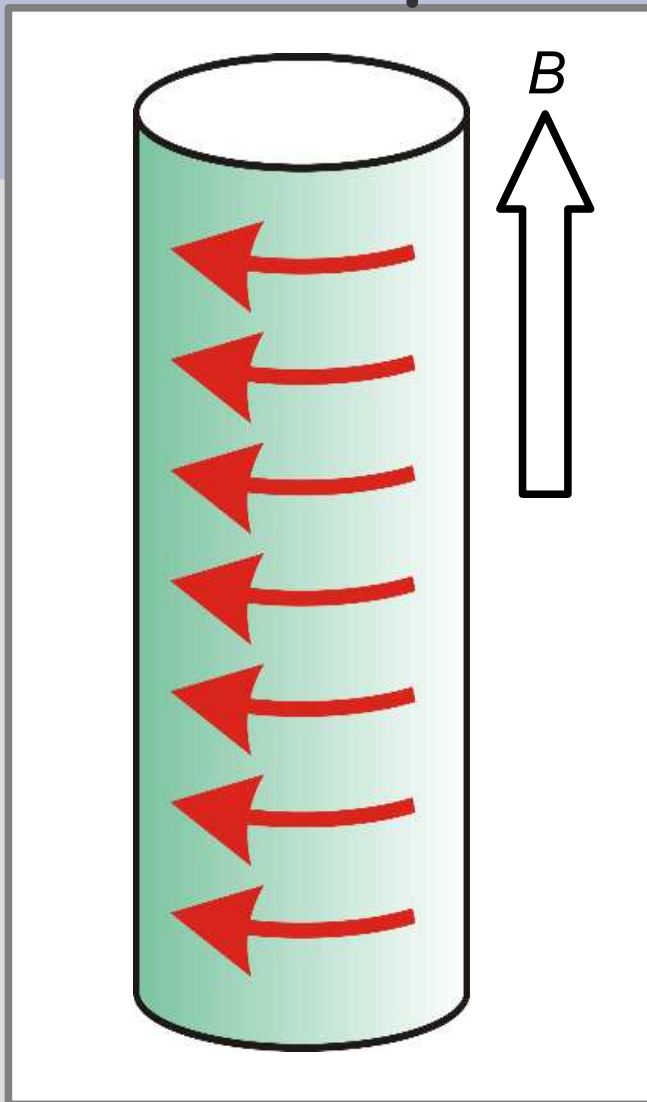


Уравнения Лондонов.



$$\operatorname{rot} \vec{H} = \frac{4\pi}{c} \vec{j}_s$$
$$w_{\text{кин}} = n_s \frac{m V_s^2}{2} = \frac{m}{2e^2 n_s} j_s^2$$

Уравнения Лондонов.



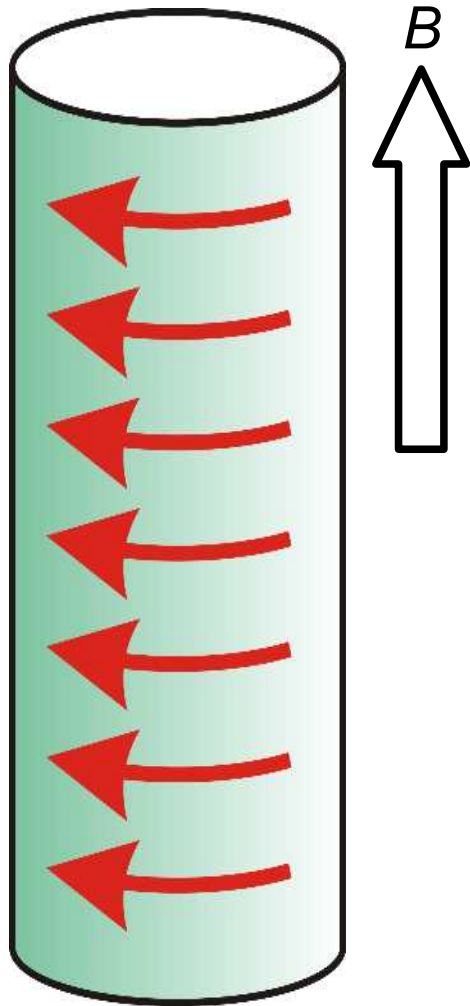
$$\operatorname{rot} \vec{H} = \frac{4\pi}{c} \vec{j}_s$$

$$w_{\text{кин}} = n_s \frac{m V_s^2}{2} = \frac{m}{2e^2 n_s} j_s^2$$

$$w_{\text{кин}} = \frac{\lambda^2}{8\pi} (\operatorname{rot} \vec{H})^2$$

$$\lambda^2 = \frac{mc^2}{4\pi n_s e^2}$$

Уравнения Лондонов.



$$\operatorname{rot} \vec{H} = \frac{4\pi}{c} \vec{j}_s$$

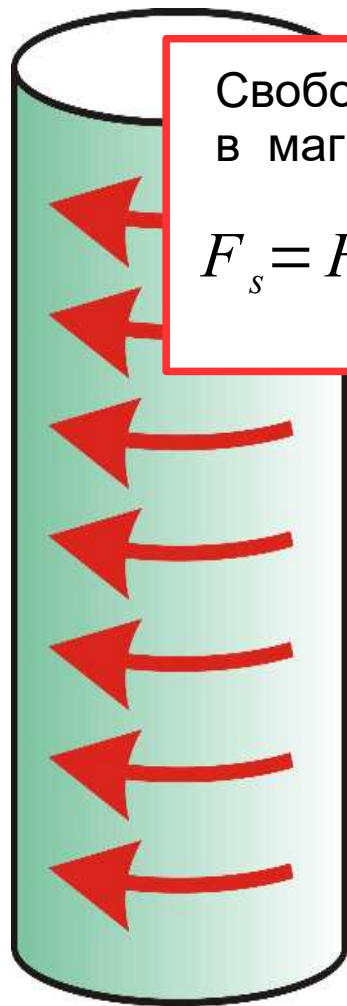
$$w_{\text{кин}} = n_s \frac{m V_s^2}{2} = \frac{m}{2e^2 n_s} j_s^2$$

$$w_{\text{кин}} = \frac{\lambda^2}{8\pi} (\operatorname{rot} \vec{H})^2$$

$$\lambda^2 = \frac{m c^2}{4\pi n_s e^2}$$

$$\lambda = \sqrt{\frac{m c^2}{4\pi n_s e^2}} \sim \sqrt{\frac{m c^2}{Ry}} \frac{1}{\sqrt{n_s a_0}} \sim 10^{-5} \text{ см} = 100 \text{ нм}$$

Уравнения Лондонов.



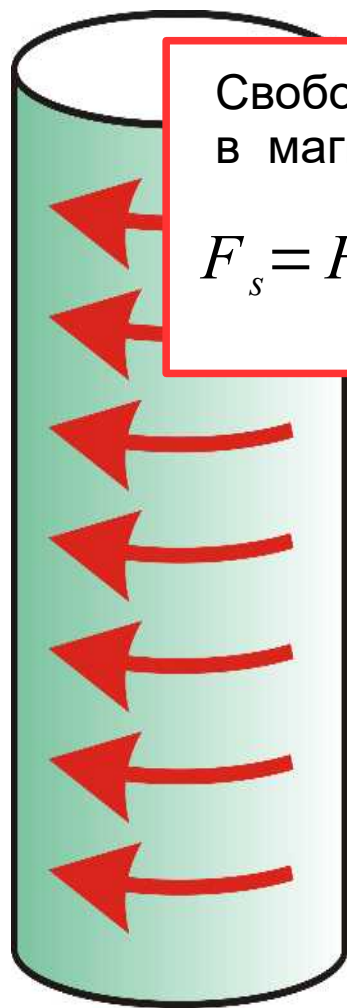
Свободная энергия сверхпроводника
в магнитном поле

$$F_s = F_{s0} + \frac{1}{8\pi} \int (H^2 + \lambda^2 \text{rot}^2 \vec{H}) dV$$

$$w_{\text{кин}} = \frac{\lambda^2}{8\pi} (\text{rot} \vec{H})^2$$

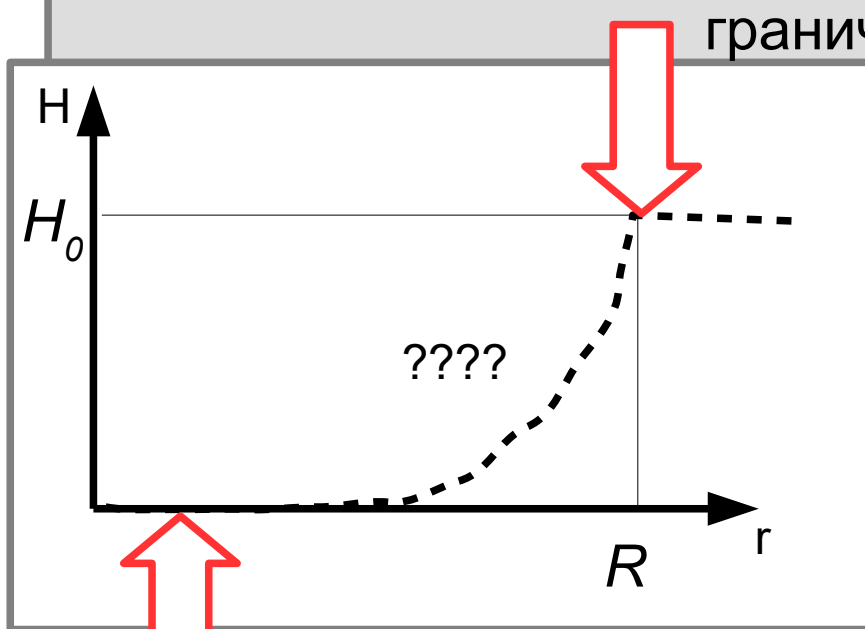
$$\lambda^2 = \frac{mc^2}{4\pi n_s e^2}$$

Уравнения Лондонов.



Свободная энергия сверхпроводника
в магнитном поле

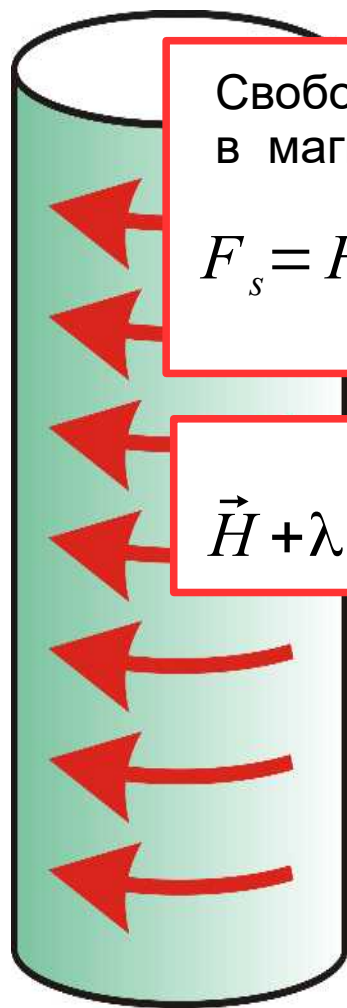
$$F_s = F_{s0} + \frac{1}{8\pi} \int (H^2 + \lambda^2 \text{rot}^2 \vec{H}) dV$$



граничное условие

Эффект Мейснера

Уравнения Лондонов.



Свободная энергия сверхпроводника
в магнитном поле

$$F_s = F_{s0} + \frac{1}{8\pi} \int (H^2 + \lambda^2 \text{rot}^2 \vec{H}) dV$$

$$\vec{H} + \lambda^2 \text{rot} \text{rot} \vec{H} = 0$$

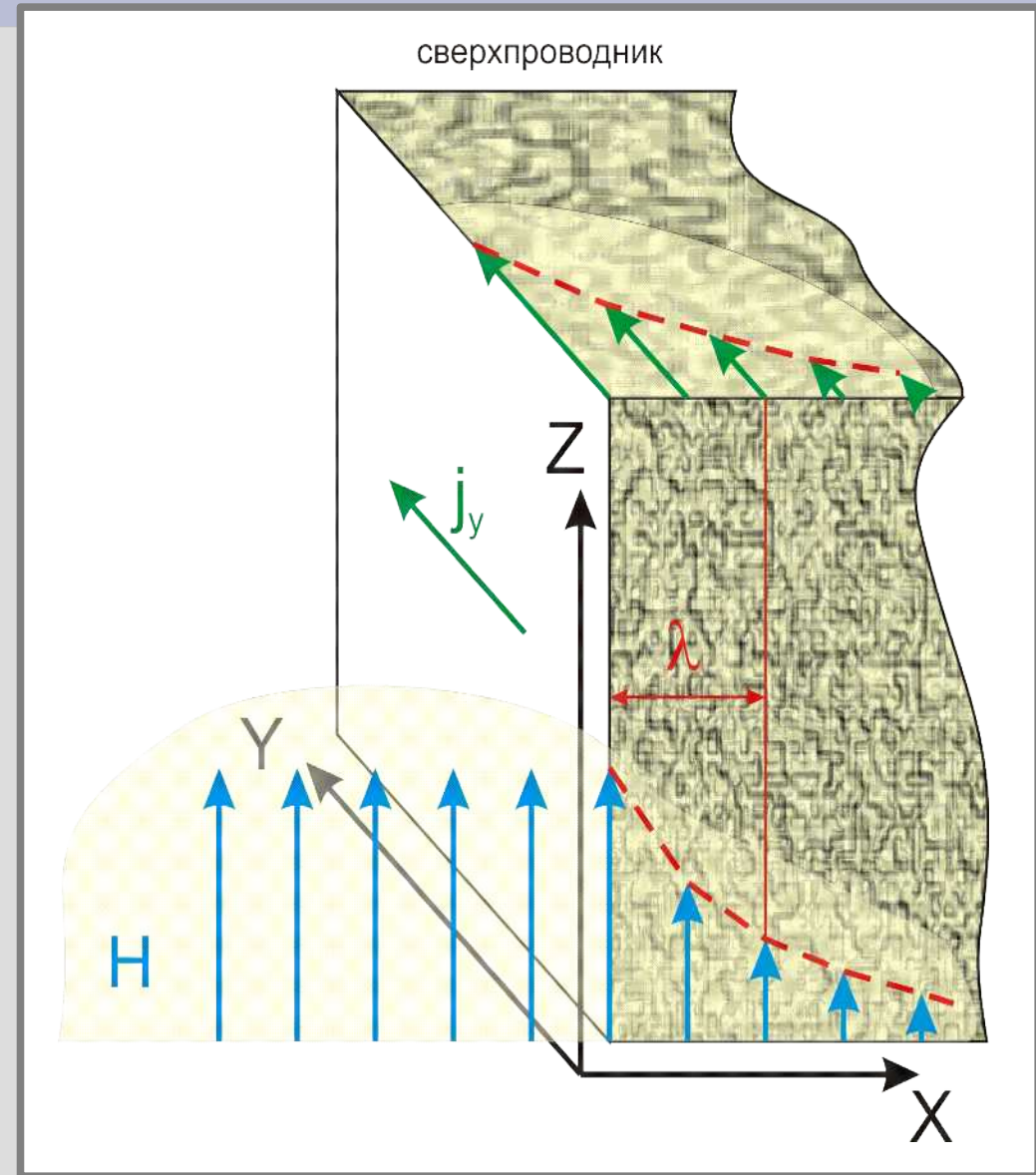
Второе уравнение
Лондонов

Проникновение поля в сверхпроводник.

$$\vec{H} + \lambda^2 \operatorname{rot} \operatorname{rot} \vec{H} = 0$$

$$\text{OZ: } H_z - \lambda^2 \frac{\partial^2 H_z}{\partial x^2} = 0$$

$$H_z(x) = H_z(0) e^{-x/\lambda}$$



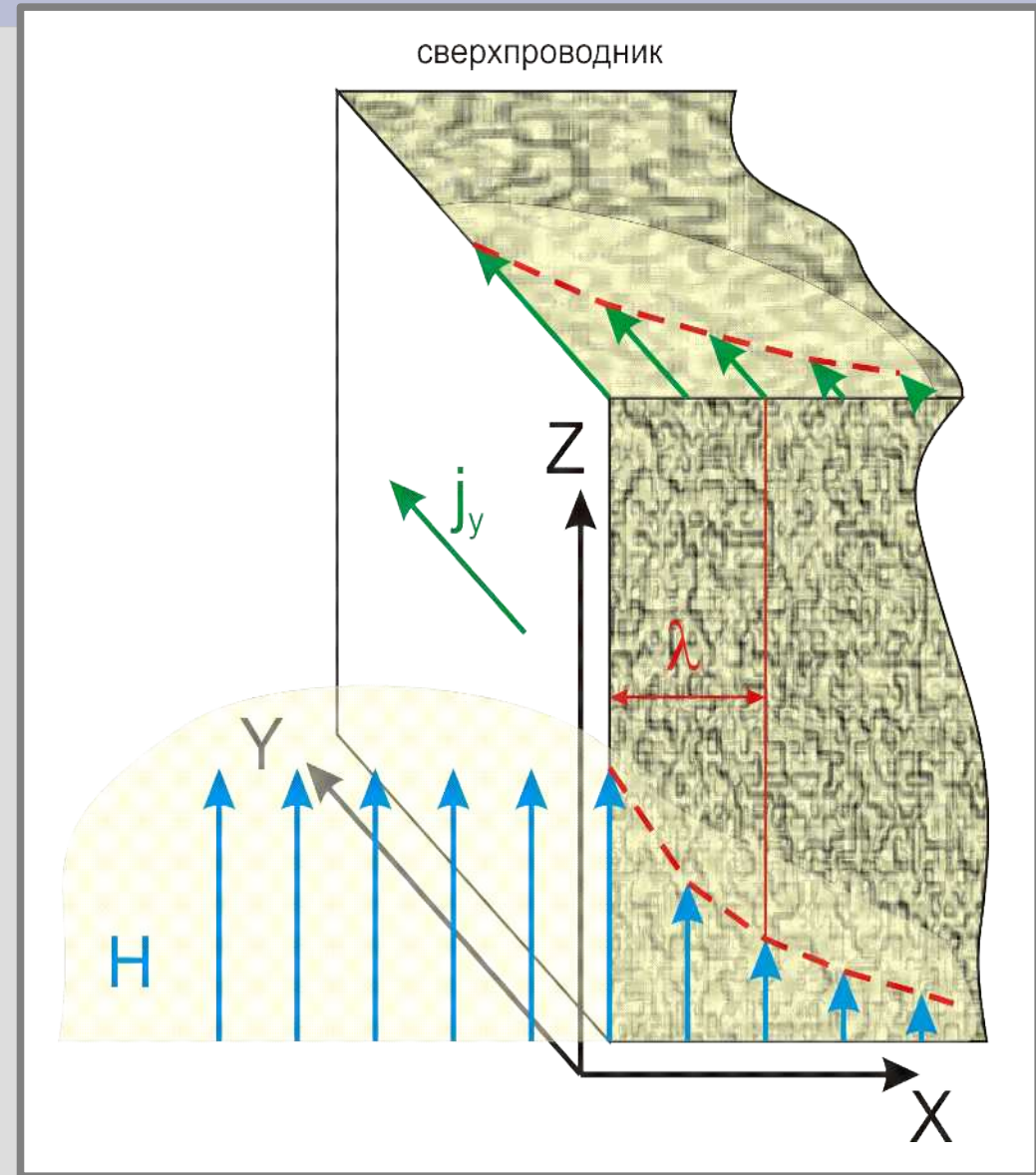
Проникновение поля в сверхпроводник.

$$\vec{H} + \lambda^2 \operatorname{rot} \operatorname{rot} \vec{H} = 0$$

$$\text{OZ: } H_z - \lambda^2 \frac{\partial^2 H_z}{\partial x^2} = 0$$

$$H_z(x) = H_z(0) e^{-x/\lambda}$$

$$j_y(x) = -\frac{c}{4\pi} \frac{\partial H_z}{\partial x} = j_0 e^{-x/\lambda}$$



Часть 2. Квантовое обобщение уравнения Лондонов. Квантование потока.

Квантовое обобщение уравнения Лондонов.

... Пусть при $T=0$ по каким-то причинам макроскопически большое количество электронов оказывается в одном состоянии...

$$\Psi(r) = C \sqrt{n_s} e^{i\Theta(\vec{r})}$$

Квантовое обобщение уравнения Лондонов.

... Пусть при $T=0$ по каким-то причинам макроскопически большое количество электронов оказывается в одном состоянии...

$$\Psi(r) = C \sqrt{n_s} e^{i\Theta(\vec{r})}$$

квантовая механика

$$\hat{H} = \frac{1}{2\mu} \left(\hat{\vec{p}} - \frac{(-q)}{c} \vec{A} \right)^2$$

в магнитном поле

$$\mu \vec{V}_s = \hbar \vec{\nabla} \Theta + \frac{q}{c} \vec{A}$$

Квантовое обобщение уравнения Лондонов.

... Пусть при $T=0$ по каким-то причинам макроскопически большое количество электронов оказывается в одном состоянии...

$$\Psi(r) = C \sqrt{n_s} e^{i\Theta(\vec{r})}$$

квантовая механика

$$\hat{H} = \frac{1}{2\mu} \left(\hat{\vec{p}} - \frac{(-q)}{c} \vec{A} \right)^2$$

в магнитном поле

$$\mu \vec{V}_s = \hbar \vec{\nabla} \Theta + \frac{q}{c} \vec{A}$$

$$\vec{V}_s = \frac{\hbar}{\mu} \vec{\nabla} \Theta + \frac{q}{\mu c} \vec{A}$$

Квантовое обобщение уравнения Лондонов.

$$\vec{V}_s = \frac{\hbar}{\mu} \vec{\nabla} \Theta + \frac{q}{\mu c} \vec{A}$$

$$\vec{j}_s = -nq \vec{V}_s = -\frac{c}{4\pi\lambda^2} \left(\vec{A} + \frac{\Phi_0}{2\pi} \vec{\nabla} \Theta \right), \quad \Phi_0 = \frac{2\pi\hbar c}{q}$$
$$\frac{4\pi}{c} \vec{j}_s = \text{rot } \vec{H} = \text{rot rot } \vec{A}$$

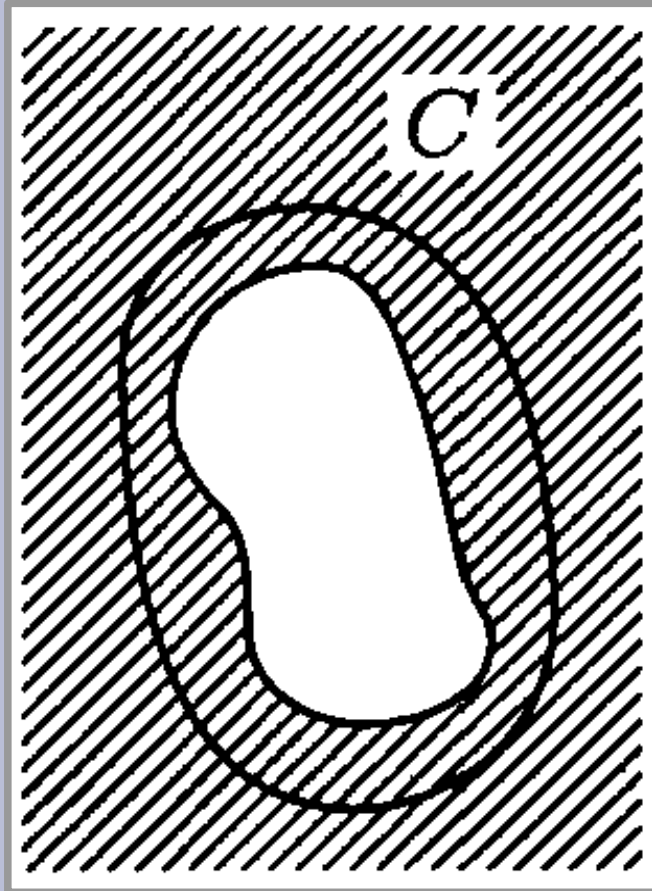
Квантовое обобщение уравнения Лондонов.

$$\vec{V}_s = \frac{\hbar}{\mu} \vec{\nabla} \Theta + \frac{q}{\mu c} \vec{A}$$

$$\vec{j}_s = -nq \vec{V}_s = -\frac{c}{4\pi\lambda^2} \left(\vec{A} + \frac{\Phi_0}{2\pi} \vec{\nabla} \Theta \right), \quad \Phi_0 = \frac{2\pi\hbar c}{q}$$
$$\frac{4\pi}{c} \vec{j}_s = \text{rot } \vec{H} = \text{rot rot } \vec{A}$$

$$\lambda^2 \text{rot rot } \vec{A} + \vec{A} = -\frac{\Phi_0}{2\pi} \vec{\nabla} \Theta$$

Квантование магнитного потока.



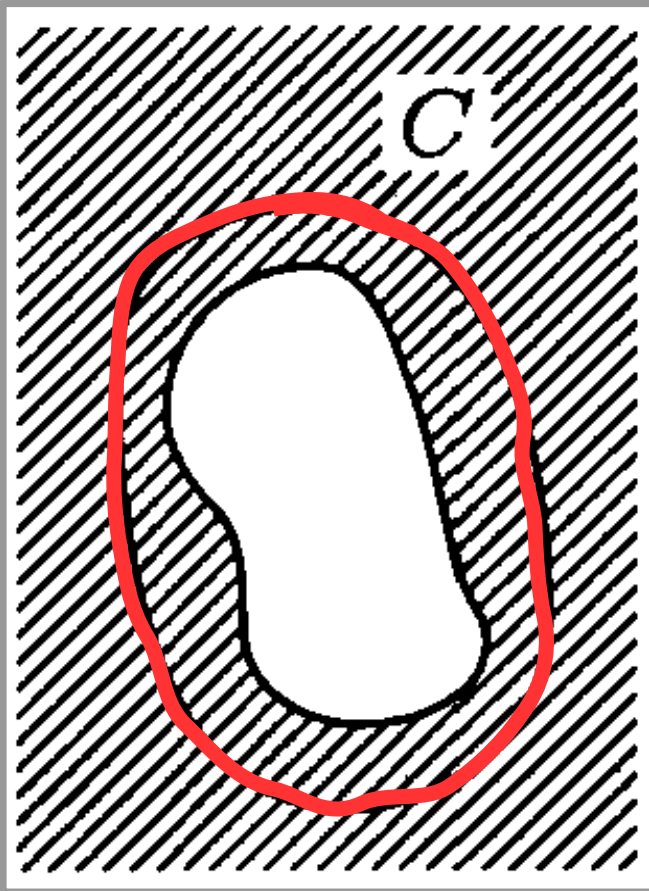
$$\vec{j}_s = -\frac{n_s q}{\mu} \left(\hbar \vec{\nabla} \Theta + \frac{q}{c} \vec{A} \right) = -\frac{c}{4\pi \lambda^2} \left(\vec{A} + \frac{\Phi_0}{2\pi} \vec{\nabla} \Theta \right)$$

Цилиндрическая полость в массивном сверхпроводнике и контур обхода этой полости вдали от границ. Из книги Шмидта

Квантование циркуляционного потока.

$$j_s = 0$$

$$\vec{j}_s = -\frac{n_s q}{\mu} \left(\hbar \vec{\nabla} \Theta + \frac{q}{c} \vec{A} \right) = -\frac{c}{4\pi \lambda^2} \left(\vec{A} + \frac{\Phi_0}{2\pi} \vec{\nabla} \Theta \right)$$

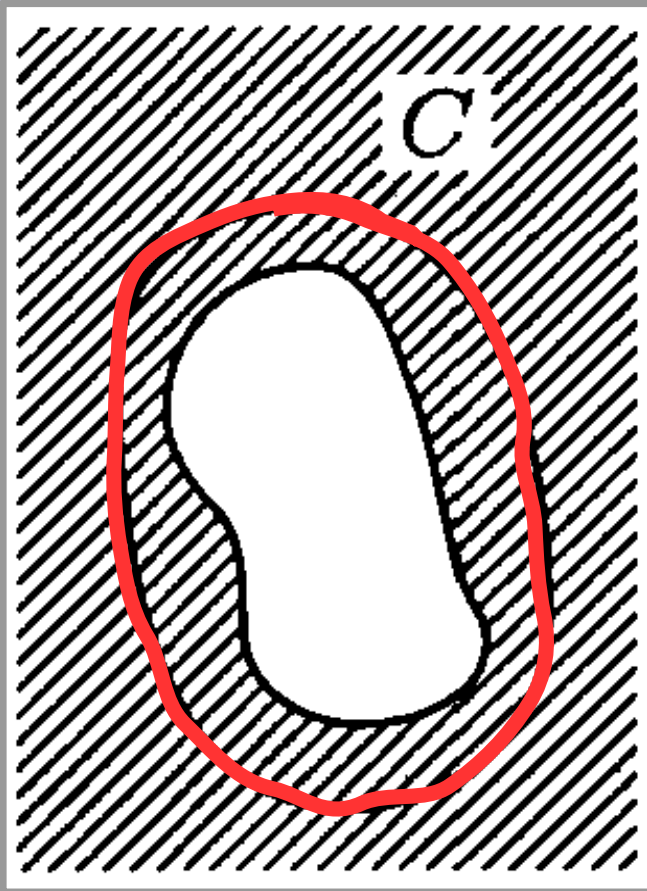


Цилиндрическая полость в массивном сверхпроводнике и контур обхода этой полости вдали от границ. Из книги Шмидта

Квантование циркуляционного потока.

$$j_s = 0$$

$$\vec{j}_s = -\frac{n_s q}{\mu} \left(\hbar \vec{\nabla} \Theta + \frac{q}{c} \vec{A} \right) = -\frac{c}{4\pi \lambda^2} \left(\vec{A} + \frac{\Phi_0}{2\pi} \vec{\nabla} \Theta \right)$$



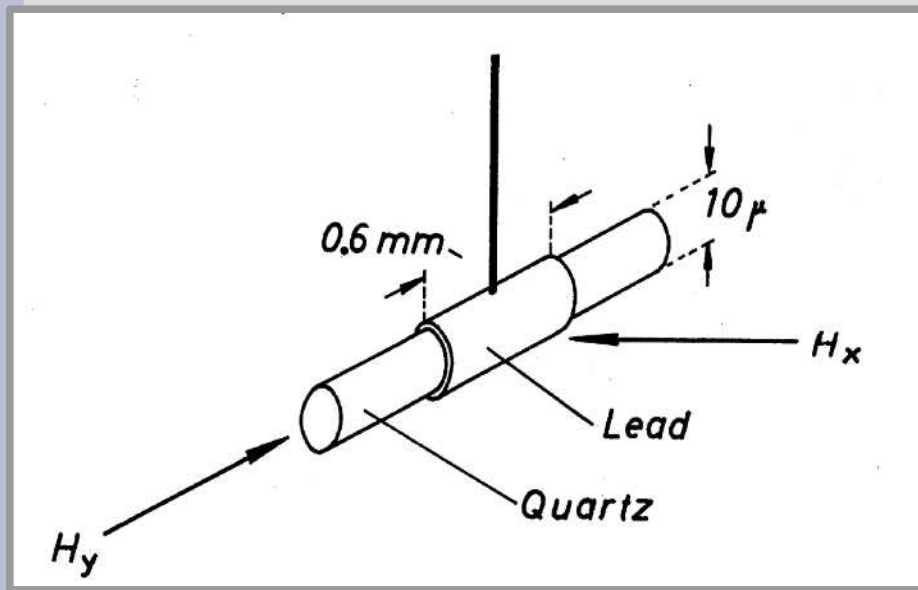
$$n \Phi_0 = \oint \vec{A} d\vec{l} = \int \text{rot } \vec{A} d\vec{S} = \Phi$$

$$\Phi_0 = \frac{2\pi \hbar c}{q}$$

$$\frac{\hbar c}{e} = 4.12 \cdot 10^{-7} \text{ Гс} \cdot \text{см}^2$$

Цилиндрическая полость в массивном сверхпроводнике и контур обхода этой полости вдали от границ. Из книги Шмидта

Эксперимент по измерению кванта потока.

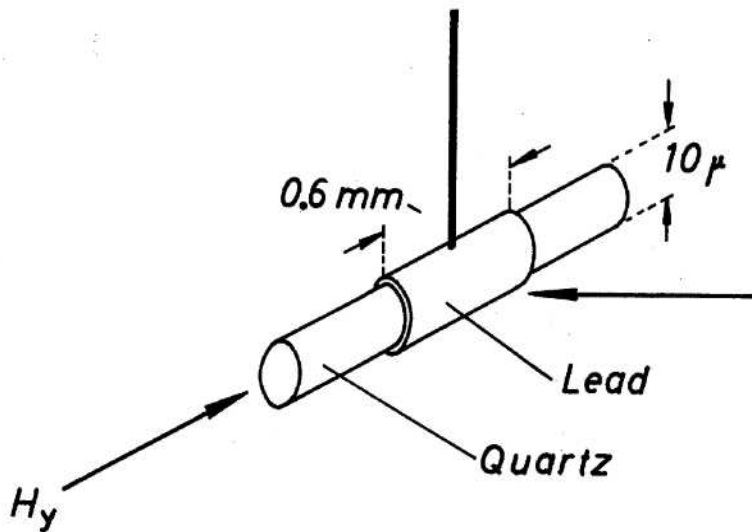


$$\Phi_0 = \frac{2\pi\hbar c}{q}$$

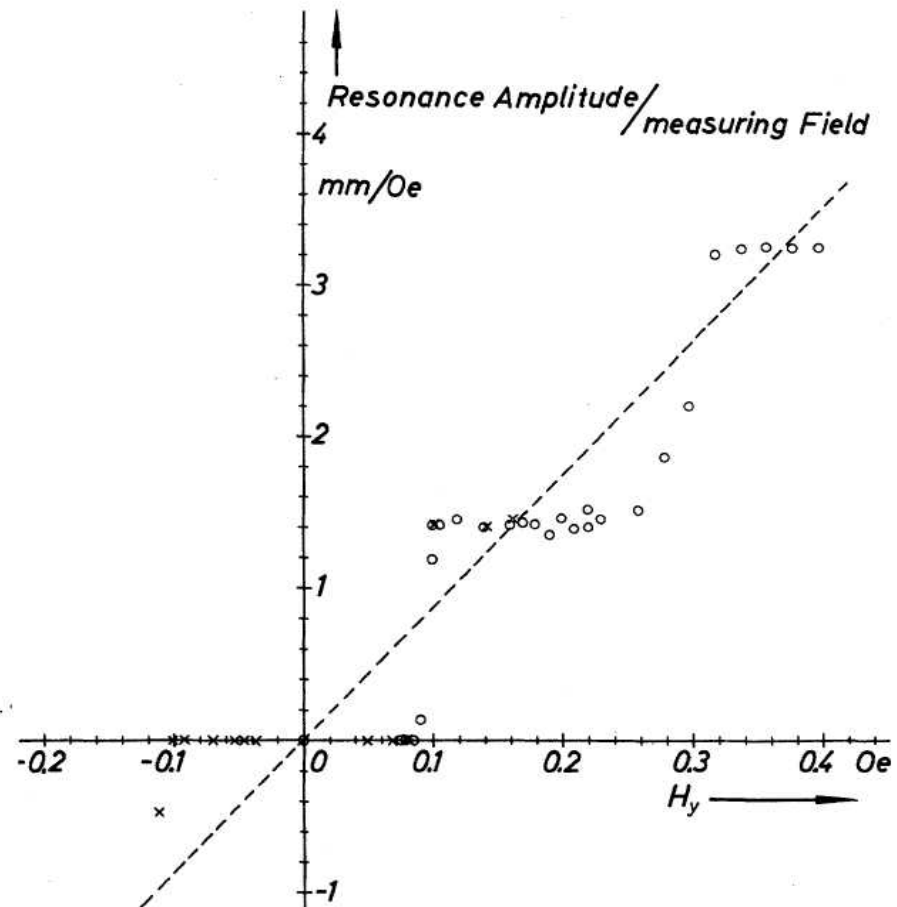
Эксперимент Долла и Небауэра по измерению квантования потока в сверхпроводящем кольце.
Слева: схема образца и прикладываемых полей.
Справа: зависимость нормированного отклика на вынуждающее поле от поля, создающего исходный магнитный поток.

R.Doll and M.Naebauer, Experimental proof of magnetic flux quantization in a superconducting ring, Physical Review Letters, 7, 51 (1961)

Эксперимент по измерению кванта потока.



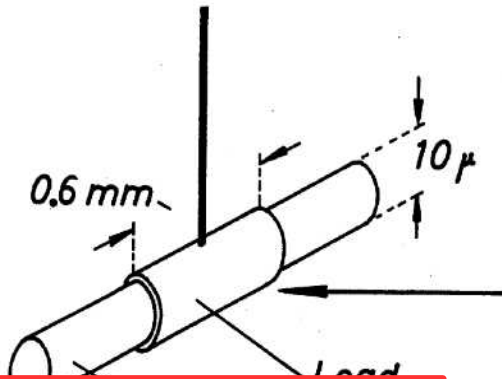
$$\Phi_0 = \frac{2\pi\hbar c}{a}$$



Эксперимент Долла и Небауэра по измерению квантования потока в сверхпроводящем кольце.
Слева: схема образца и прикладываемых полей.
Справа: зависимость нормированного отклика на вынуждающее поле от поля, создающего исходный магнитный поток.

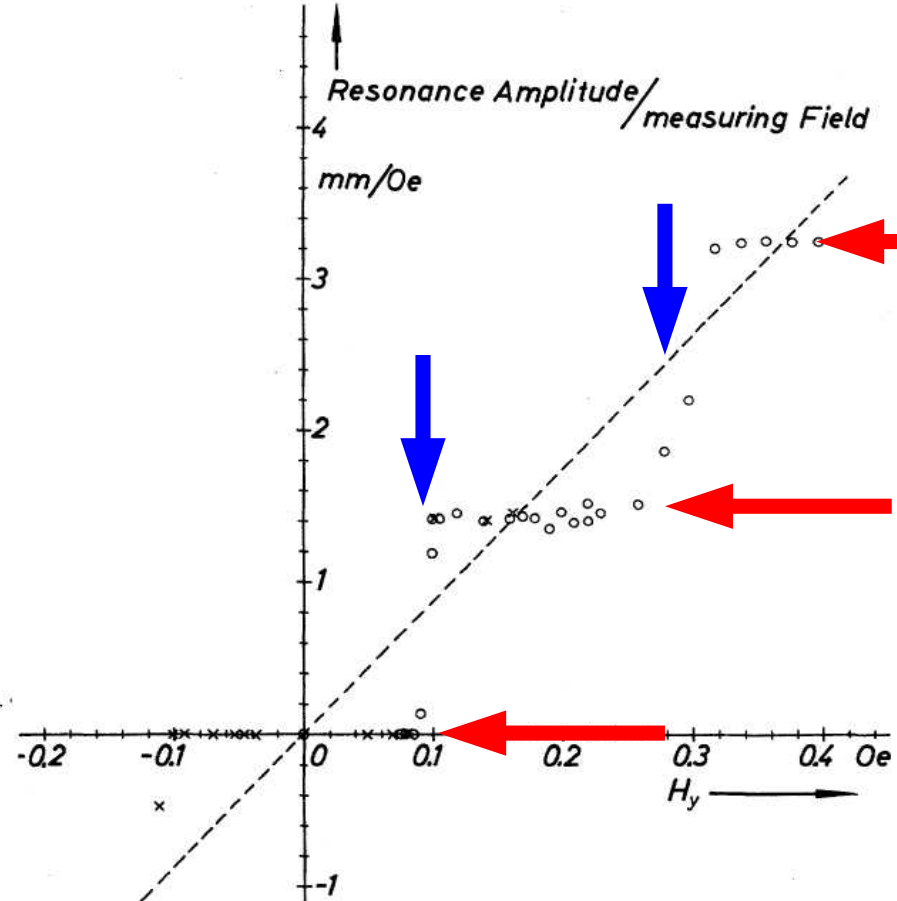
R.Doll and M.Naebauer, Experimental proof of magnetic flux quantization in a superconducting ring, Physical Review Letters, 7, 51 (1961)

Эксперимент по измерению кванта потока.

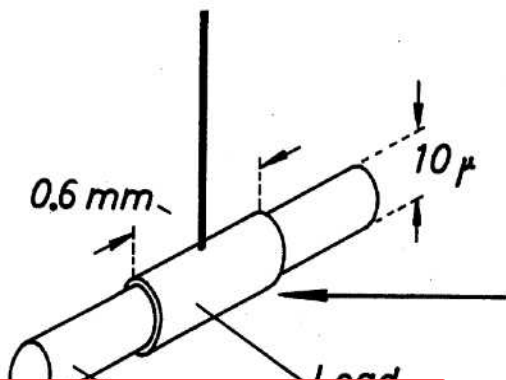


$$\Phi_0 = \frac{2\pi\hbar c}{a}$$

$$\Delta H = 0.2 \text{ Э}$$



Эксперимент по измерению кванта потока.

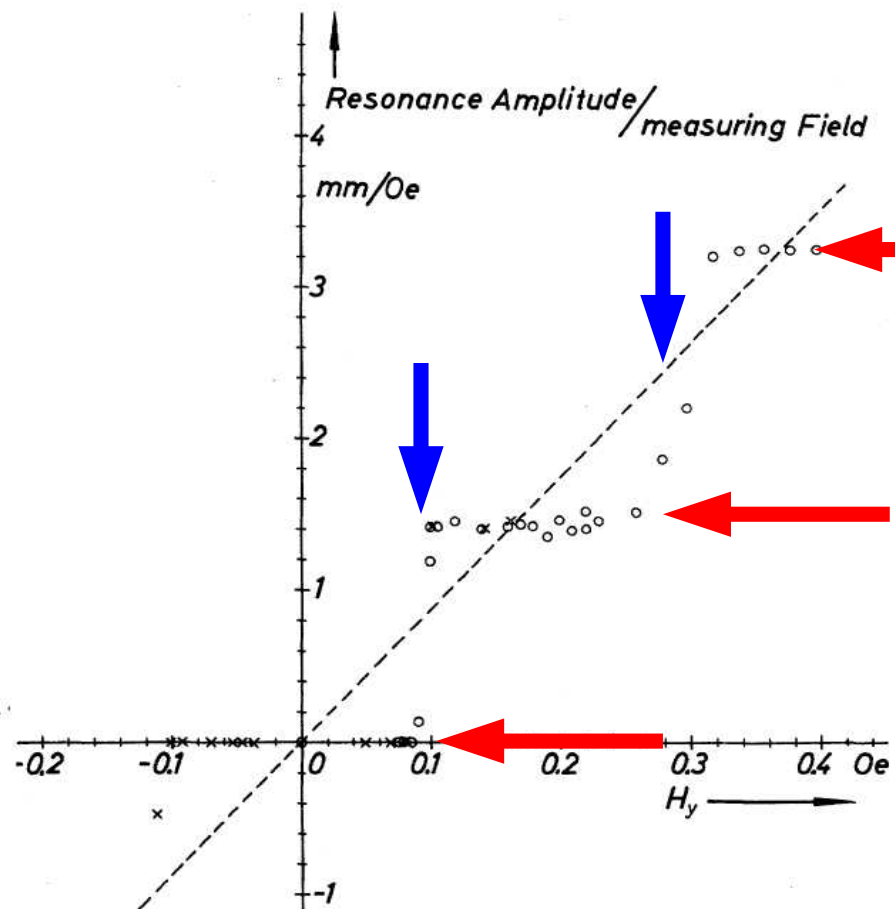


$$\Phi_0 = \frac{2\pi\hbar c}{e}$$

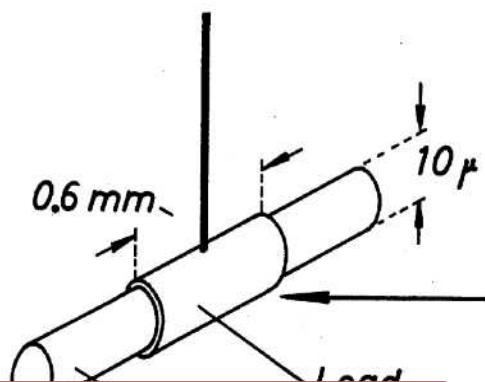
$$\Delta H = 0.2 \text{ Э}$$

$$\Delta\Phi = \frac{\pi d^2}{4} \Delta B =$$
$$= 1.6 \cdot 10^{-7} \text{ Гс} \cdot \text{см}^2$$

$$\frac{\hbar c}{e} = 4.12 \cdot 10^{-7} \text{ Гс} \cdot \text{см}^2$$



Эксперимент по измерению кванта потока.



$$\Phi_0 = \frac{2\pi\hbar c}{e}$$

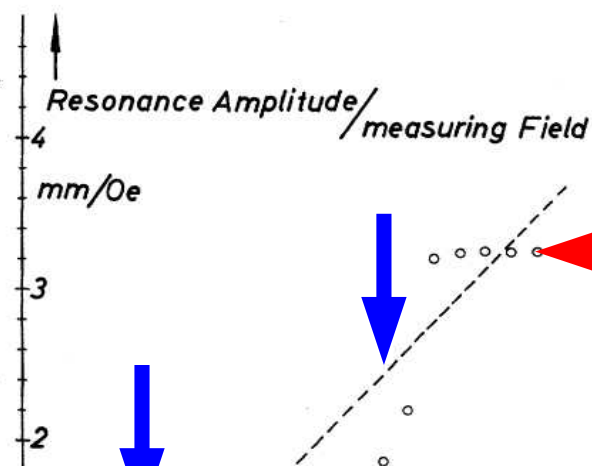
$$\Delta H = 0.2 \text{ Э}$$

$$\Delta \Phi = \frac{\pi d^2}{4} \Delta H$$

$$= 1.6 \cdot 10^{-15} \text{ Вб}$$

$$\frac{\hbar c}{e} = 4.12 \cdot 10^{-15} \text{ Вб}$$

$$\Phi_0 = \frac{\pi \hbar c}{e} = 2.06 \cdot 10^{-7} \text{ Гс} \cdot \text{см}^2 = 2.06 \cdot 10^{-15} \text{ Вб}$$

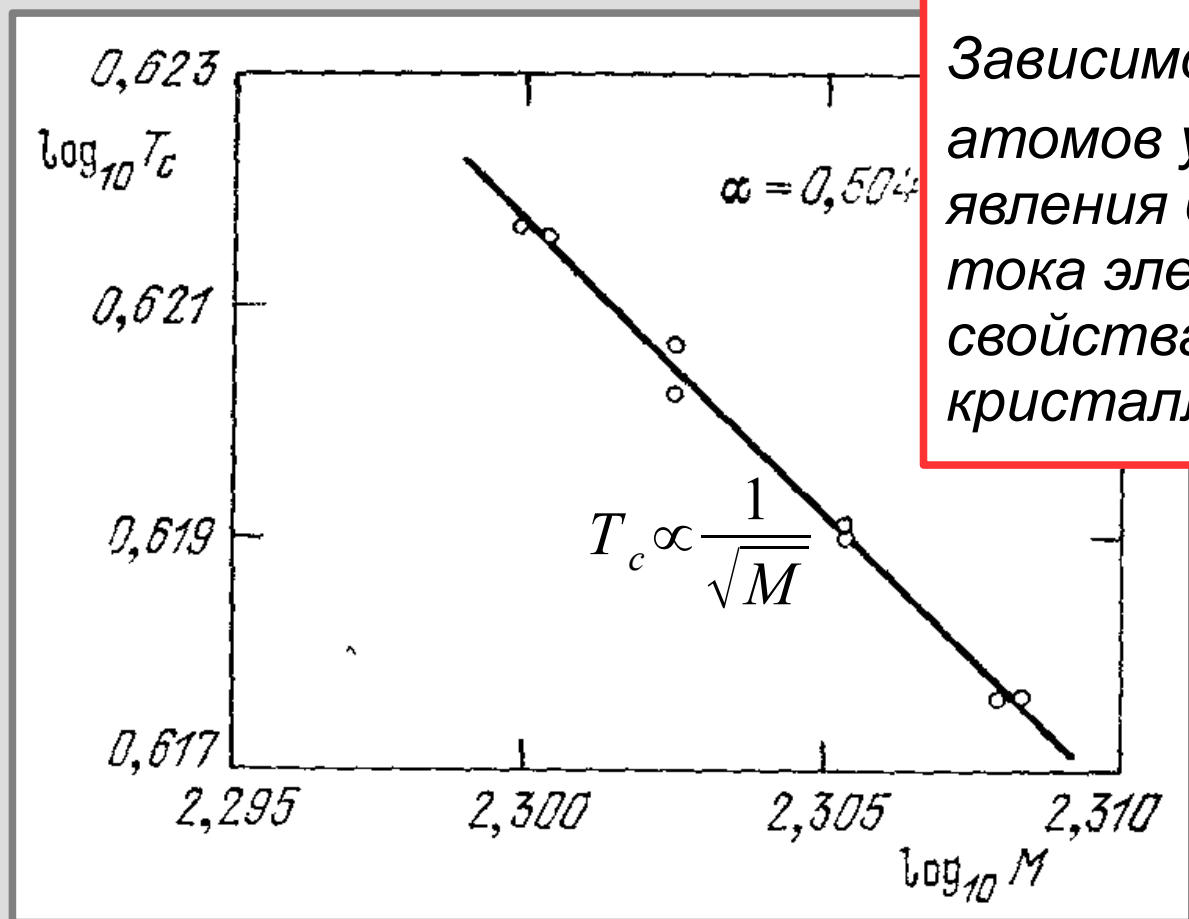


Эксперимент по измерению кванта потока показывает, что сверхпроводящий ток переносится носителями с зарядом $2e$!

0.4 Oe

Часть 3. Элементарные возбуждения сверхпроводника и критический ток

Экспериментальные факты, лежащие в основе микроскопической модели сверхпроводника.

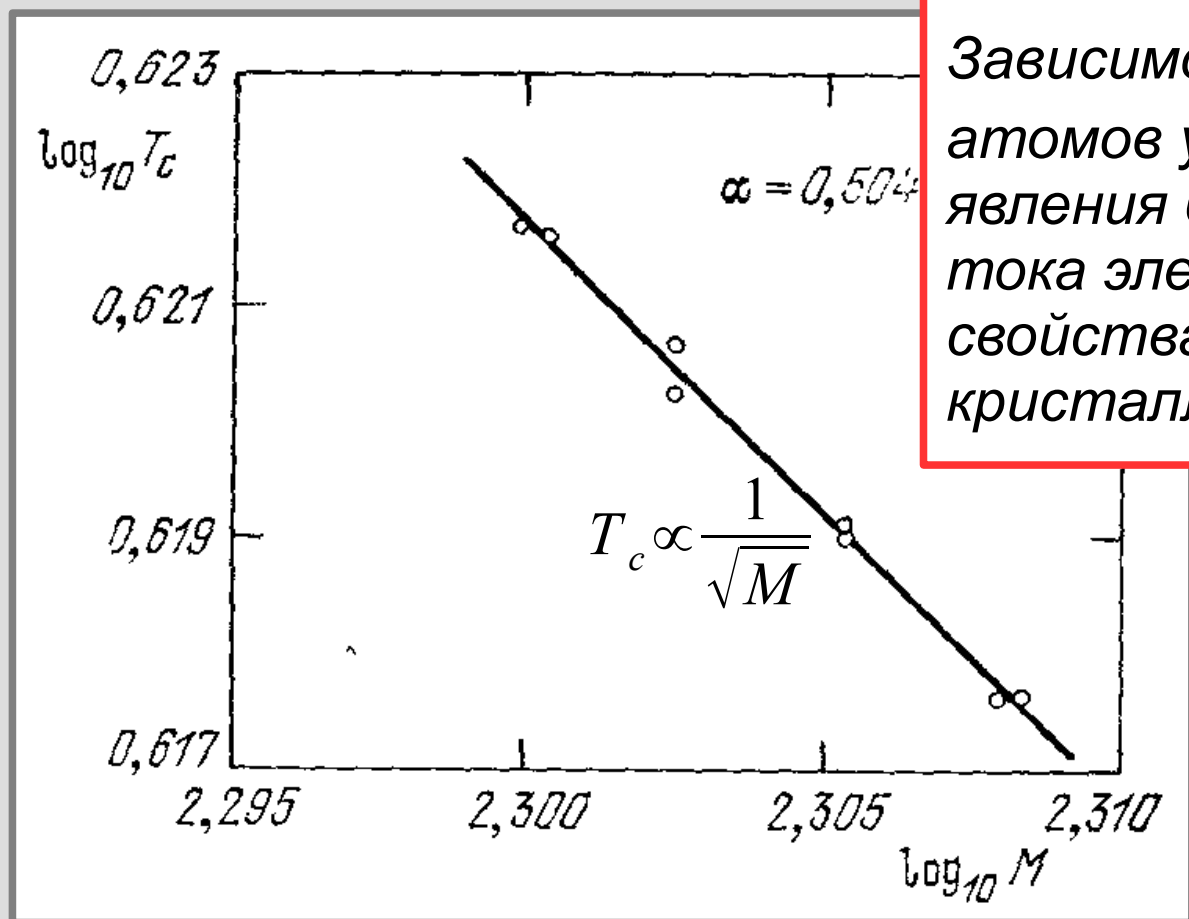


Изотоп-эффект:

Зависимость T_c от массы атомов указывает на связь явления бездиссипативного тока электронов со свойствами решётки кристалла

Зависимость температуры сверхпроводящего перехода в ртути от усреднённого массового числа изотопов в образце. Из книги Киттеля

Экспериментальные факты, лежащие в основе микроскопической модели сверхпроводника.



Изотоп-эффект:

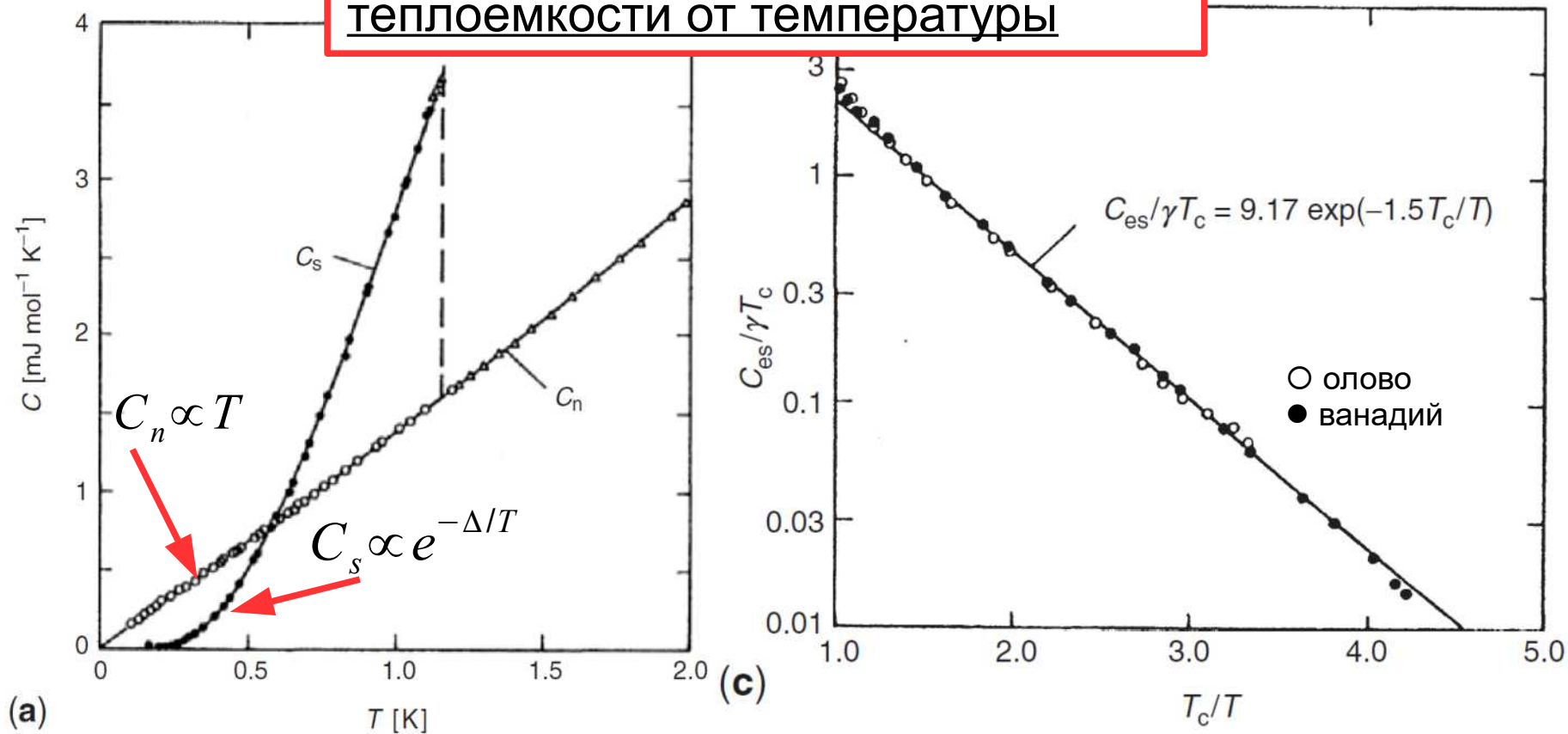
Зависимость T_c от массы атомов указывает на связь явления бездиссипативного тока электронов со свойствами решётки кристалла

$$\Theta = \frac{\hbar s}{k_B} (6\pi^2 n)^{1/3}$$
$$s \propto \sqrt{\frac{C}{M}}$$

Зависимость температуры сверхпроводящего перехода в ртути от усреднённого массового числа изотопов в образце. Из книги Киттеля

Экспериментальные факты, лежащие в основе микроскопической модели сверхпроводника.

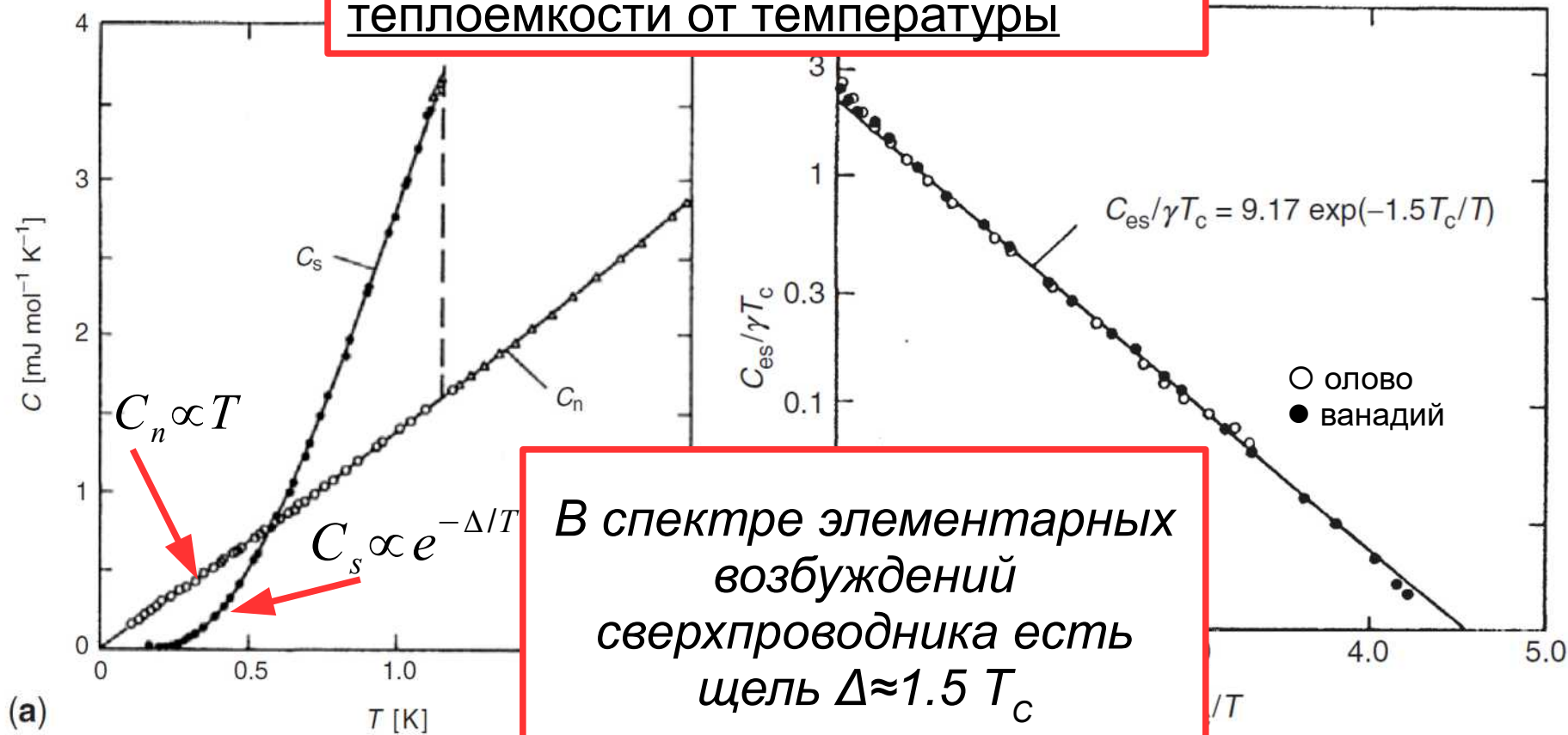
Термоактивационная зависимость теплоёмкости от температуры



Слева: электронный вклад в теплоёмкость алюминия в нормальном (открытые символы) и сверхпроводящем (закрашенные) состоянии. Измерения в нормальном состоянии производились в поле выше критического. Справа: электронный вклад в теплоёмкость ванадия (закрашенные символы) и олова (открытые символы) как функция нормированной температуры.

Экспериментальные факты, лежащие в основе микроскопической модели сверхпроводника.

Термоактивационная зависимость теплоёмкости от температуры



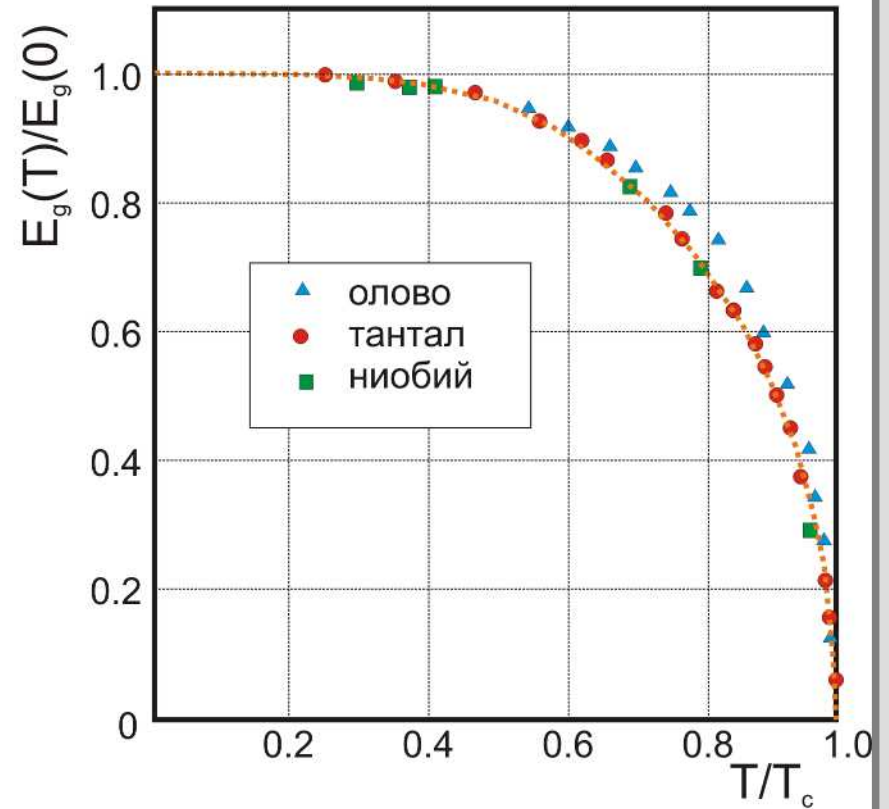
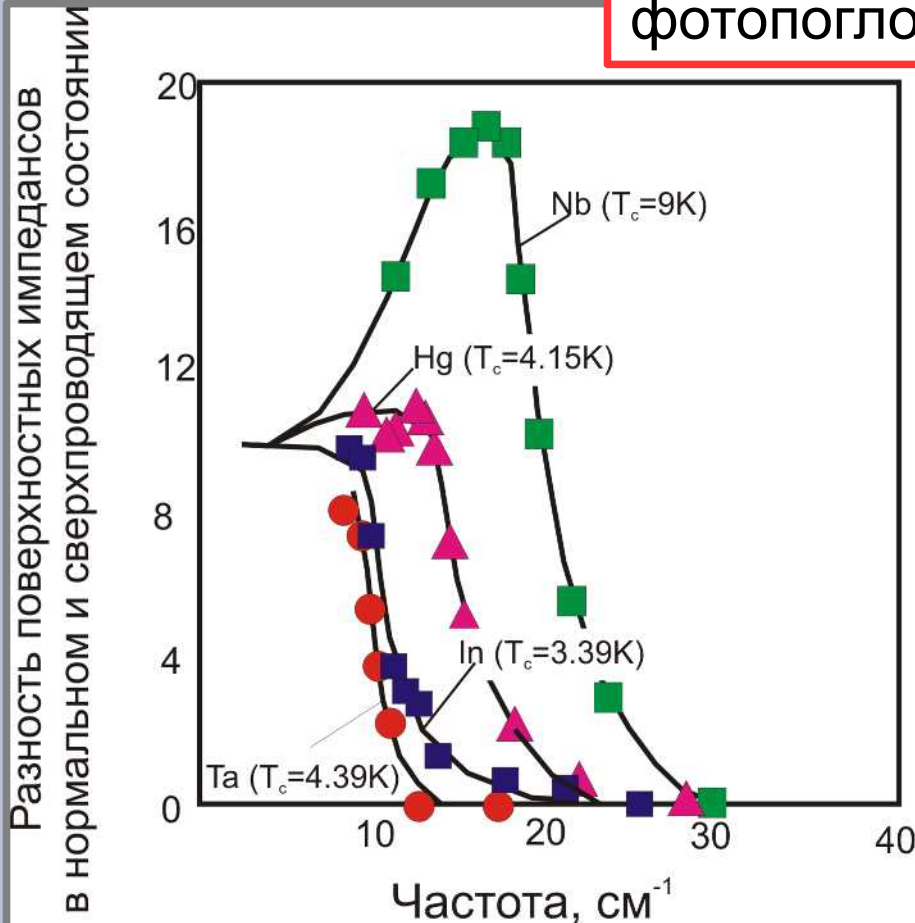
В спектре элементарных возбуждений сверхпроводника есть щель $\Delta \approx 1.5 T_c$

Слева: электронный вклад в теплоёмкость алюминия в нормальном (открытые символы) и сверхпроводящем (закрашенные) состоянии. Измерения в нормальном состоянии производились в поле выше критического. Справа: электронный вклад в теплоёмкость ванадия (закрашенные символы) и олова (открытые символы) как функция нормированной температуры.

Экспериментальные факты, лежащие в основе микроскопической модели

СВЕРХПРОВОДНИКА

Высокочастотное поглощение в сверхпроводниках (аналог фотопоглощения в полупроводнике).



Разности поверхностных сопротивлений сверхпроводящей и нормальной фаз в СВЧ диапазоне.

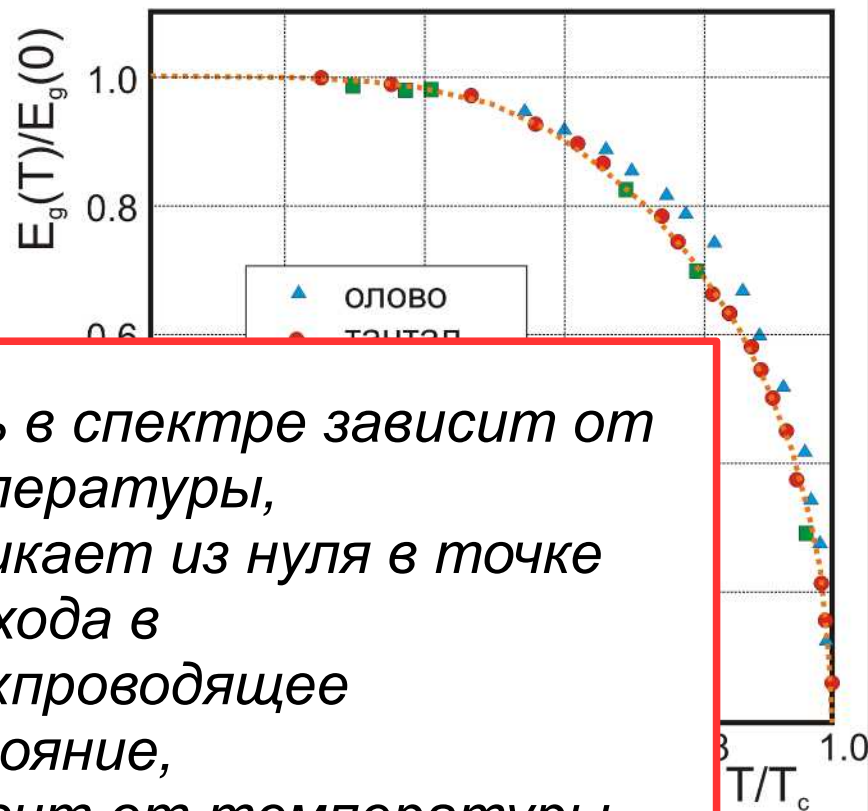
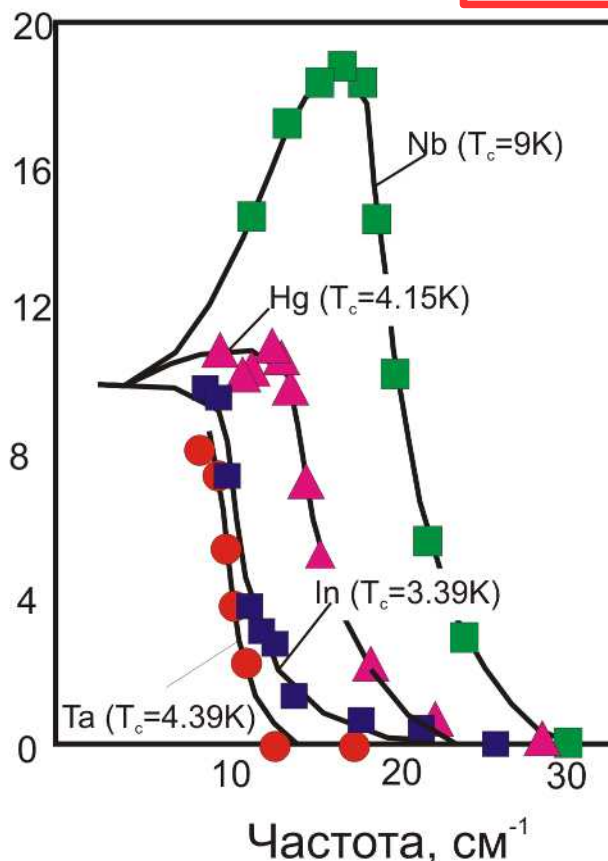
Зависимость щели в спекре сверхпроводника от температуры.

Экспериментальные факты, лежащие в основе микроскопической модели

СВЕРХПРОВОДНИКА

Высокочастотное поглощение в сверхпроводниках (аналог фотопоглощения в полупроводнике).

Разность поверхностных импедансов в нормальном и сверхпроводящем состоянии



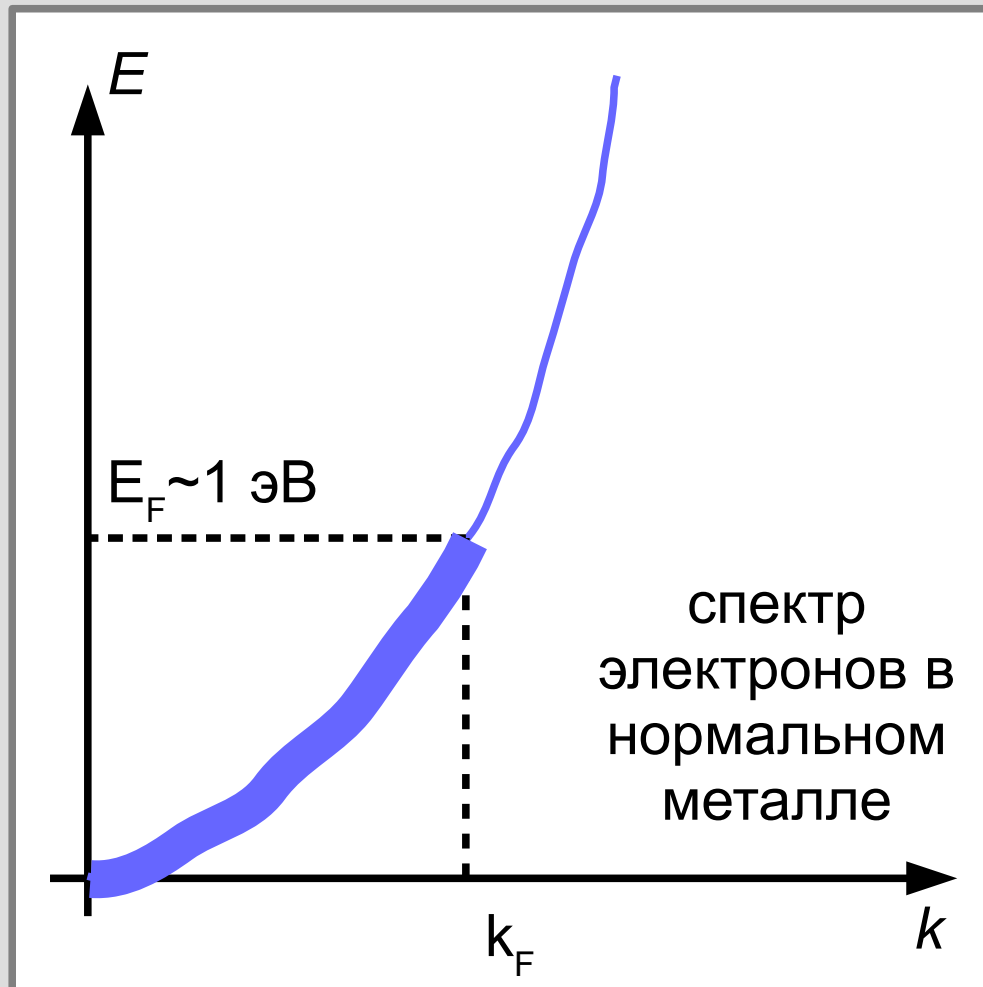
- *Щель в спектре зависит от температуры,*
- *возникает из нуля в точке перехода в сверхпроводящее состояние,*
- *зависит от температуры универсальным образом*

Разности поверхностных сопротивлений сверхпроводящей нормальной фаз в СВЧ диапазоне.

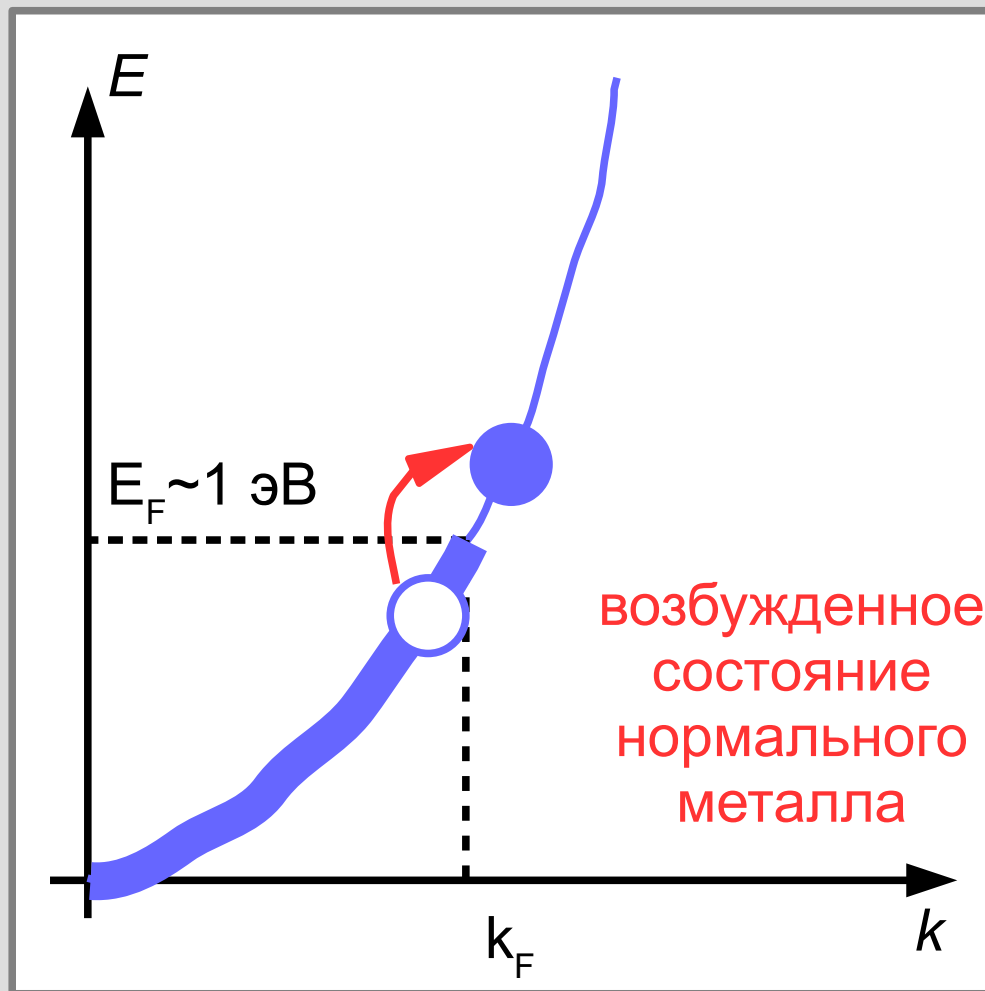
Спектр возбуждений сверхпроводника.



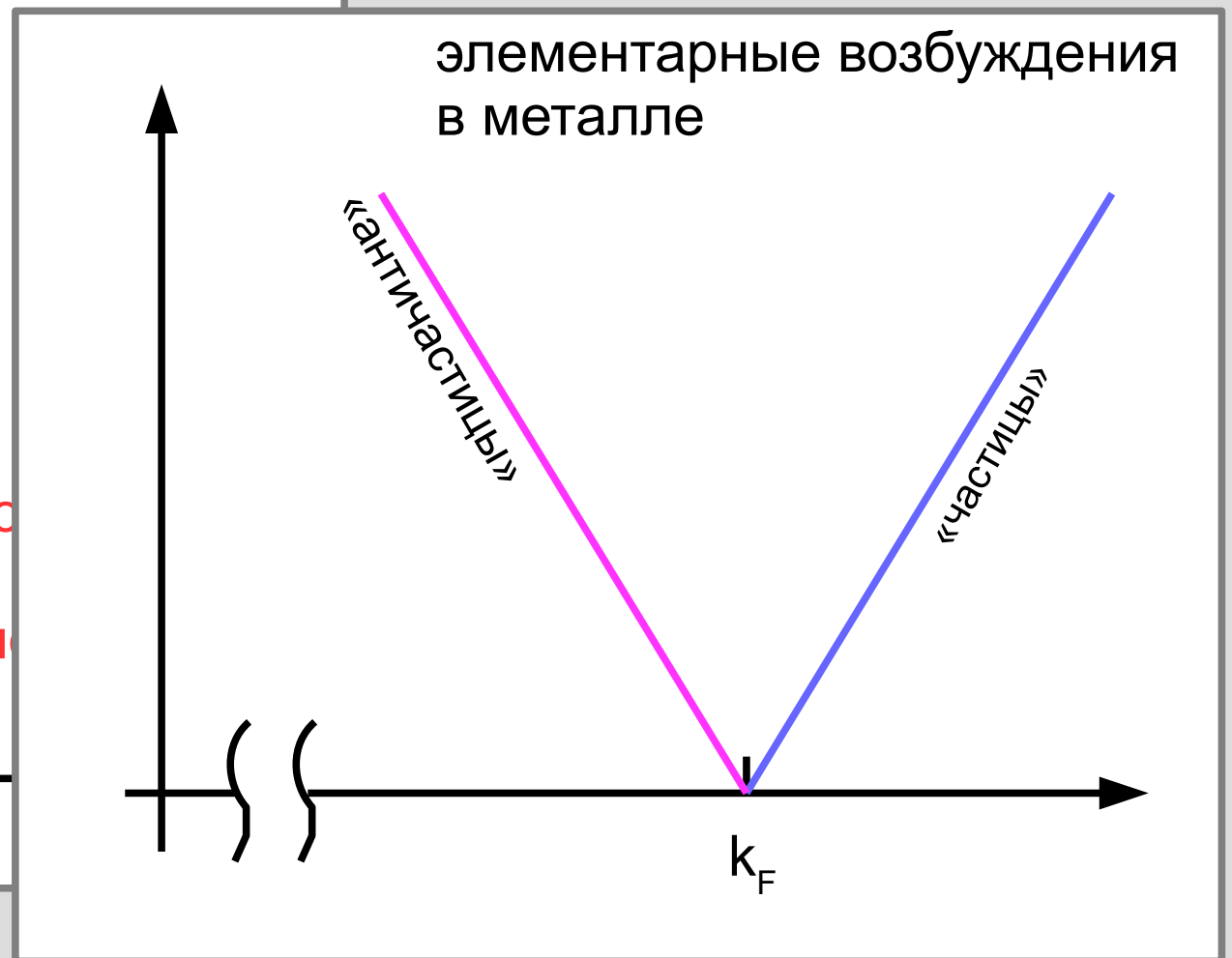
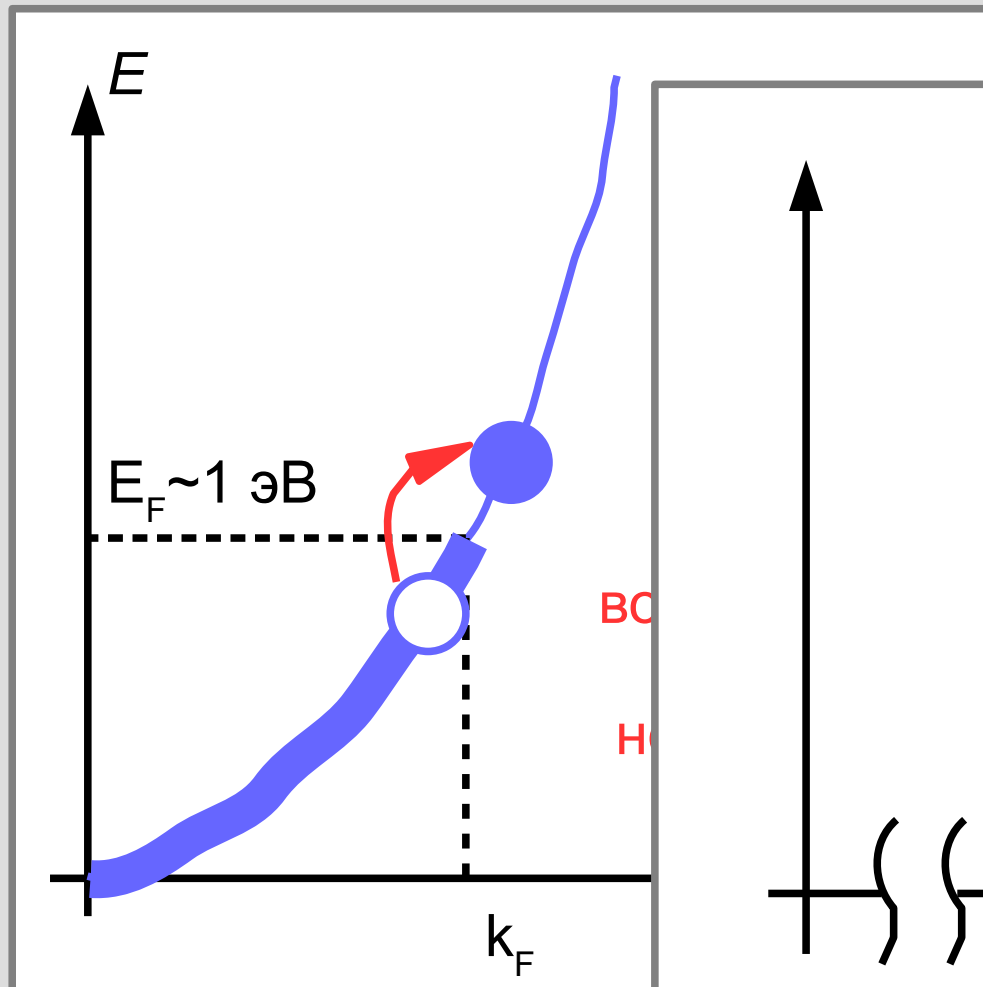
Спектр возбуждений сверхпроводника.



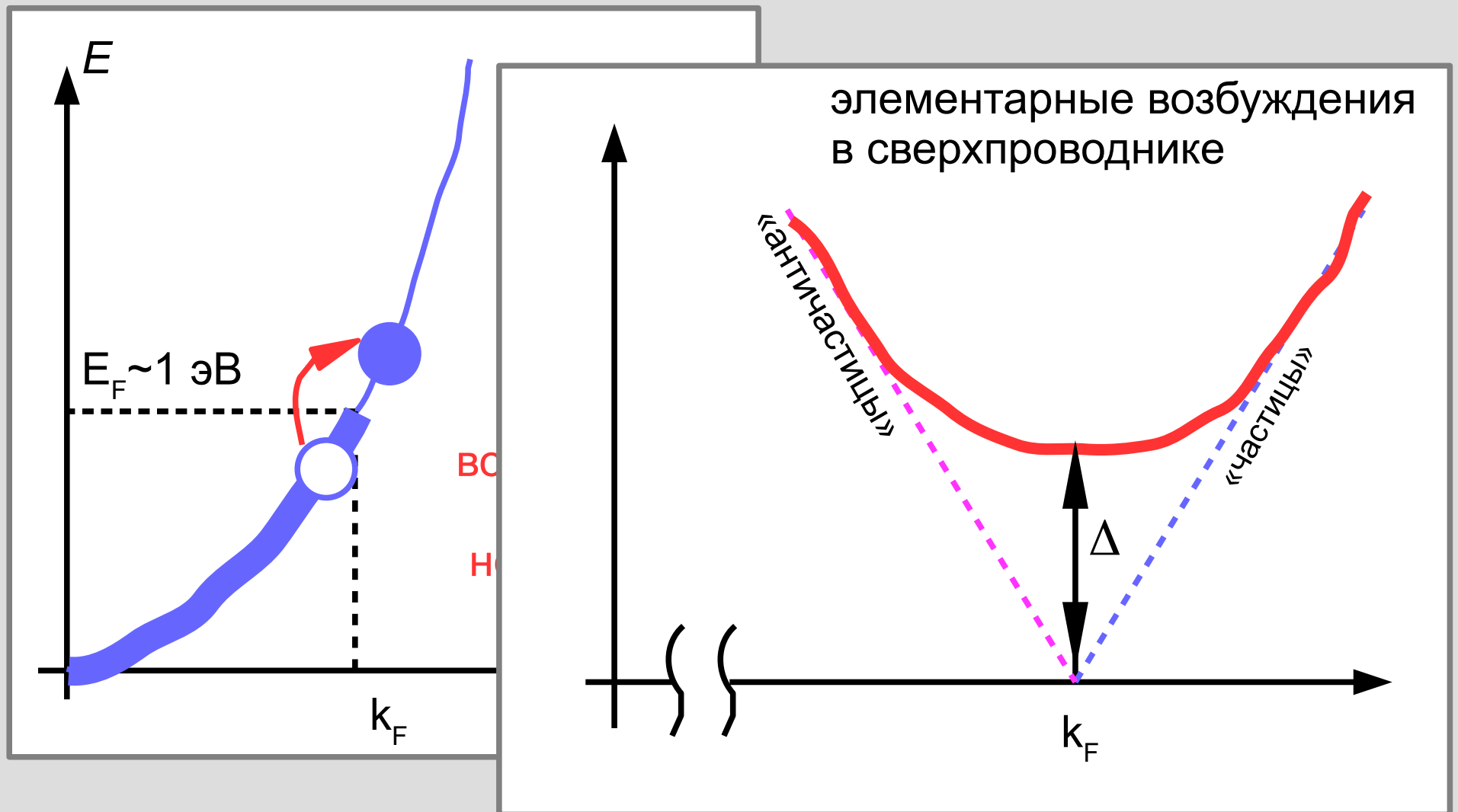
Спектр возбуждений сверхпроводника.



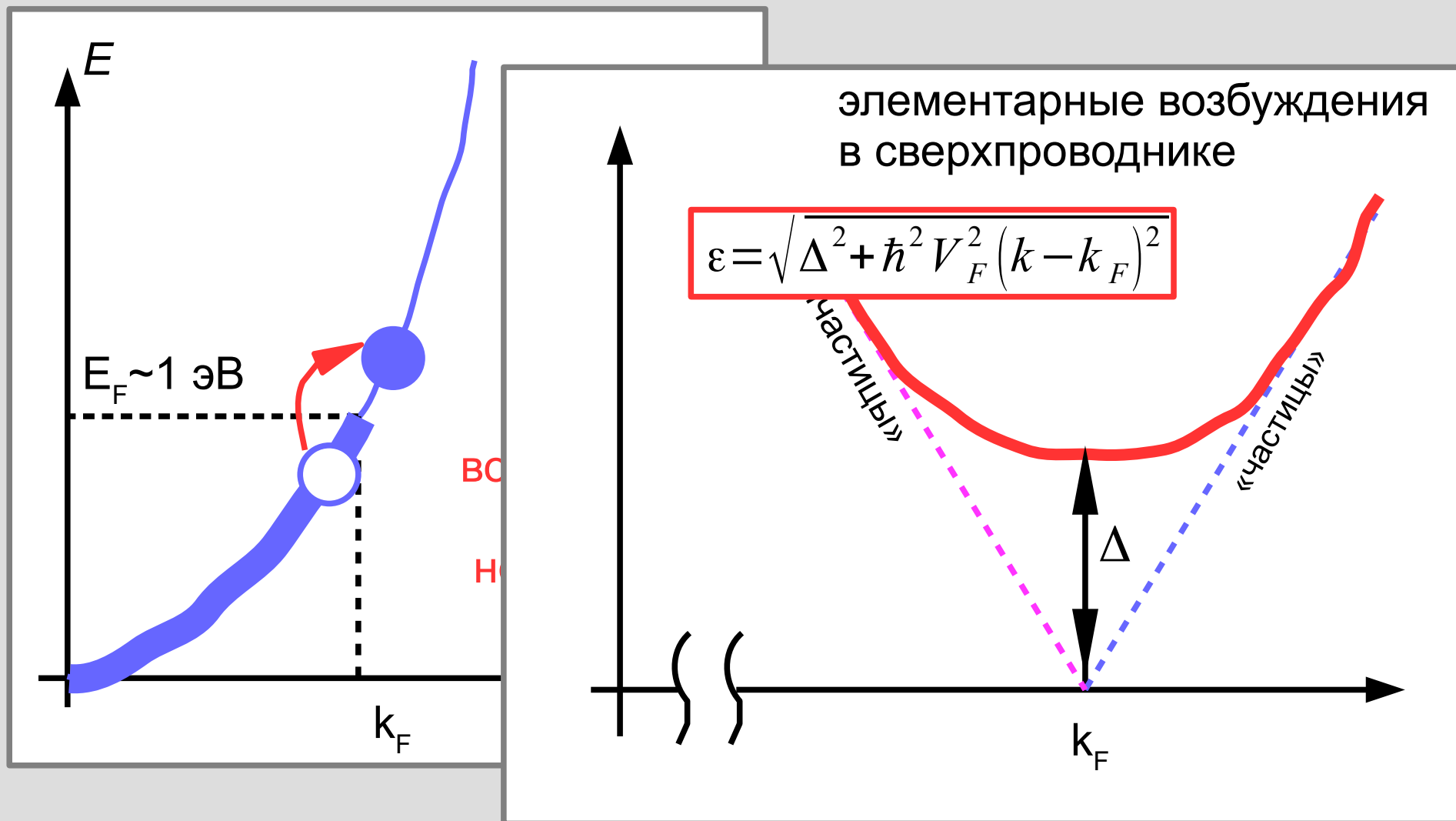
Спектр возбуждений сверхпроводника.



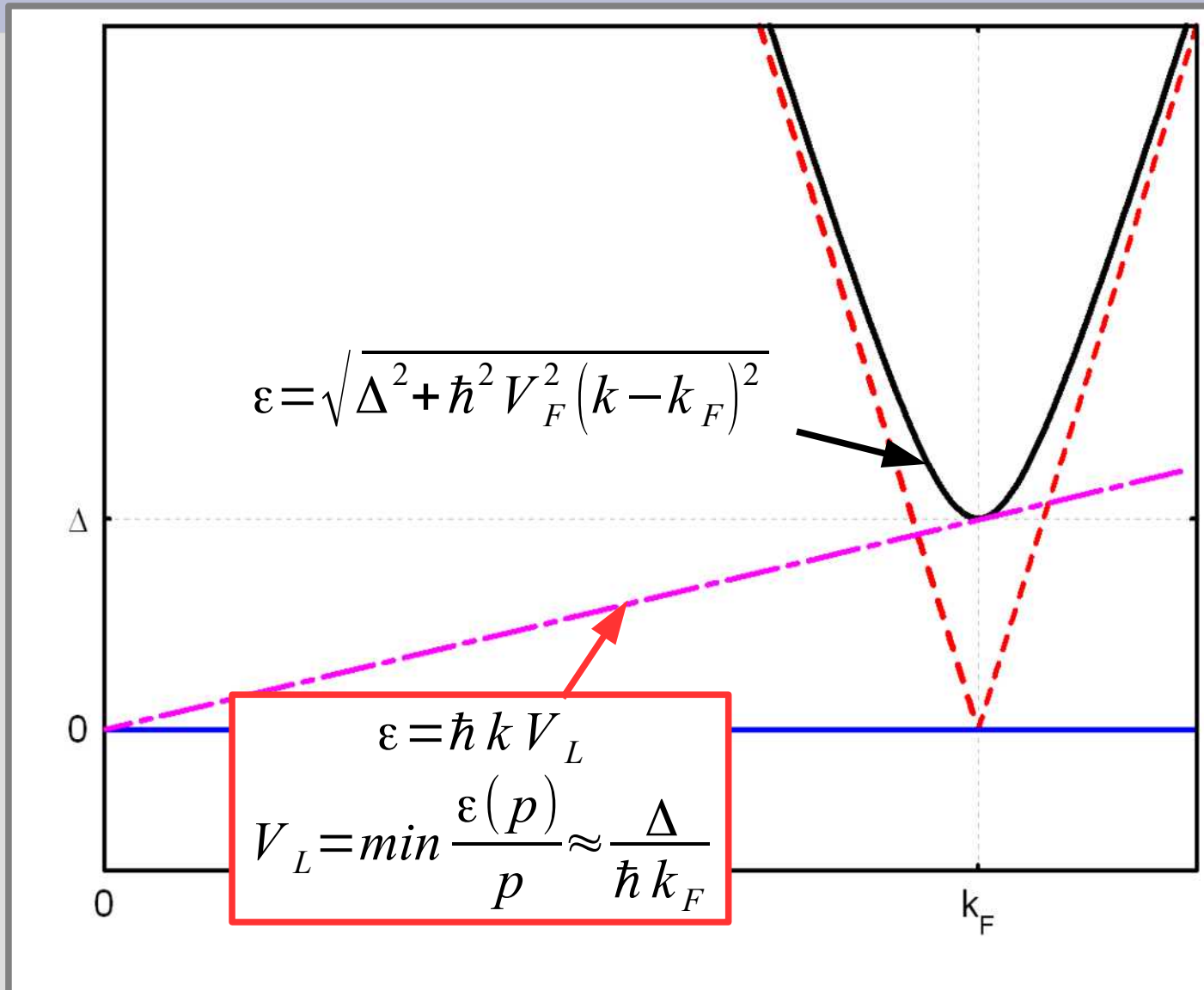
Спектр возбуждений сверхпроводника.



Спектр возбуждений сверхпроводника.

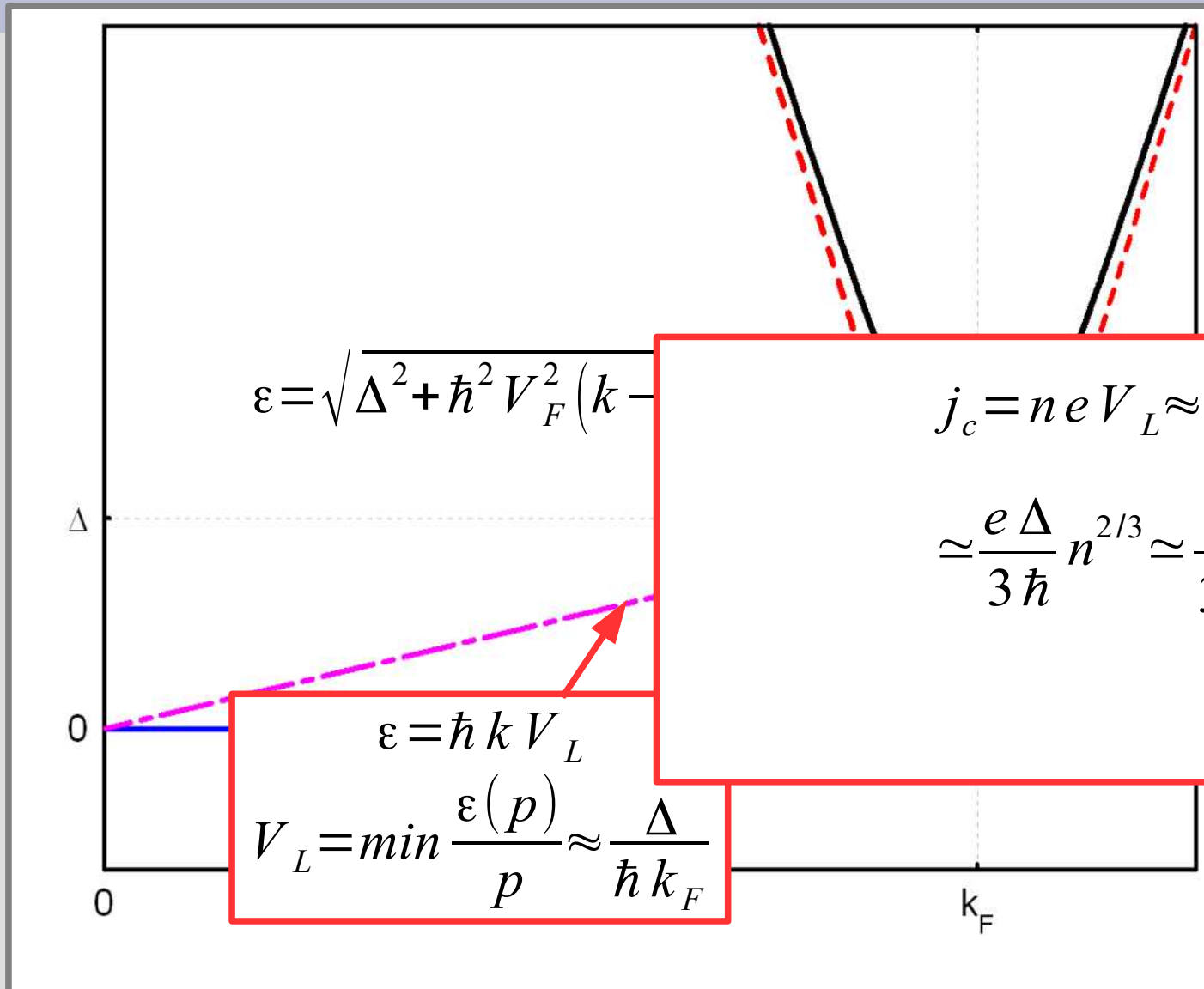


Критический ток сверхпроводника



Спектр возбуждений в нормальном металле (пунктир) и сверхпроводнике (сплошная линия). Штрих-пунктирная линия показывает построение критической скорости Ландау. Нулевой уровень соответствует энергии основного состояния.

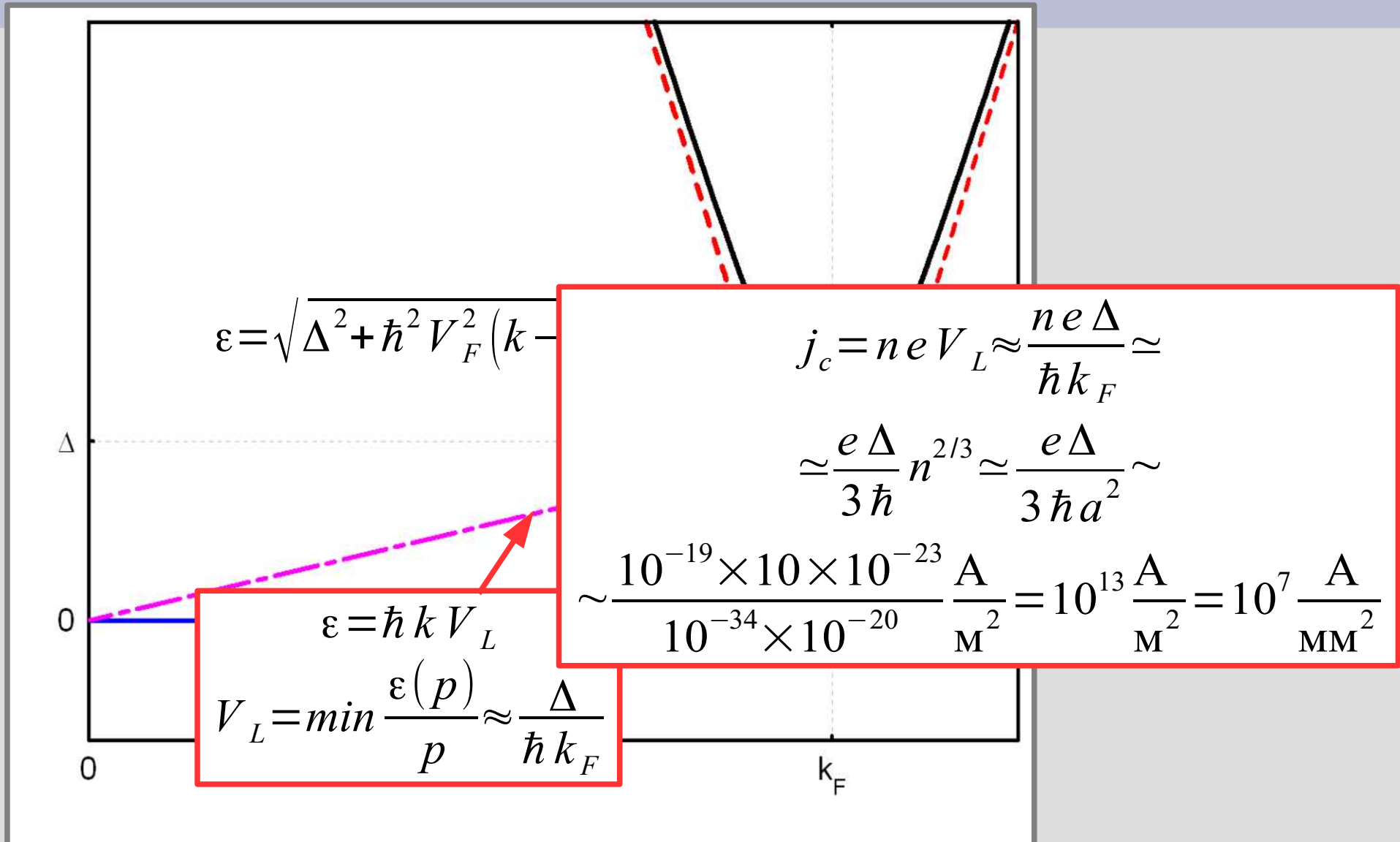
Критический ток сверхпроводника



$$\begin{aligned}
 j_c &= neV_L \approx \frac{ne\Delta}{\hbar k_F} \approx \\
 &\approx \frac{e\Delta}{3\hbar} n^{2/3} \approx \frac{e\Delta}{3\hbar a^2} \approx
 \end{aligned}$$

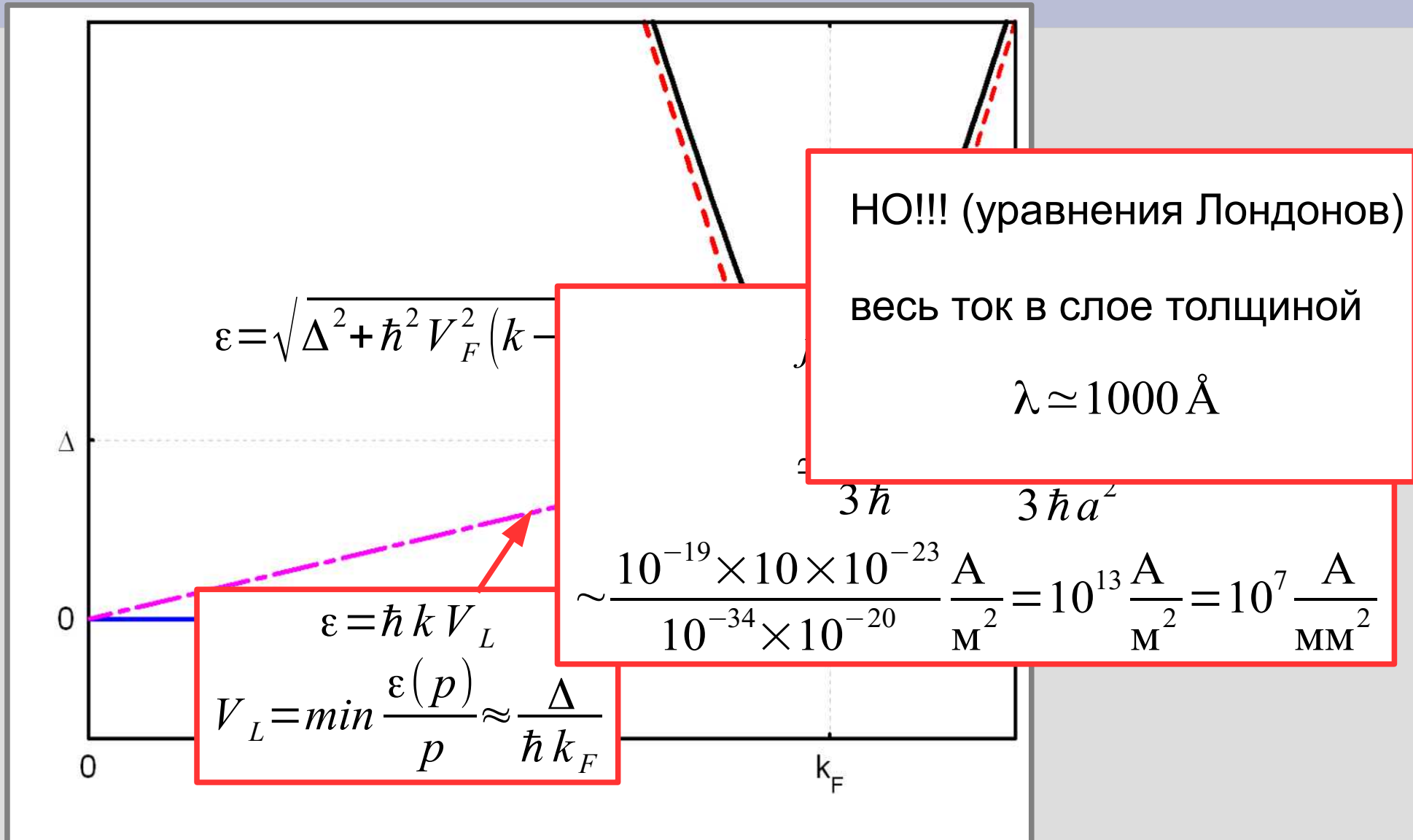
Спектр возбуждений в нормальном металле (пунктир) и сверхпроводнике (сплошная линия). Штрих-пунктирная линия показывает построение критической скорости Ландау. Нулевой уровень соответствует энергии основного состояния.

Критический ток сверхпроводника



Спектр возбуждений в нормальном металле (пунктир) и сверхпроводнике (сплошная линия). Штрих-пунктирная линия показывает построение критической скорости Ландау. Нулевой уровень соответствует энергии основного состояния.

Критический ток сверхпроводника

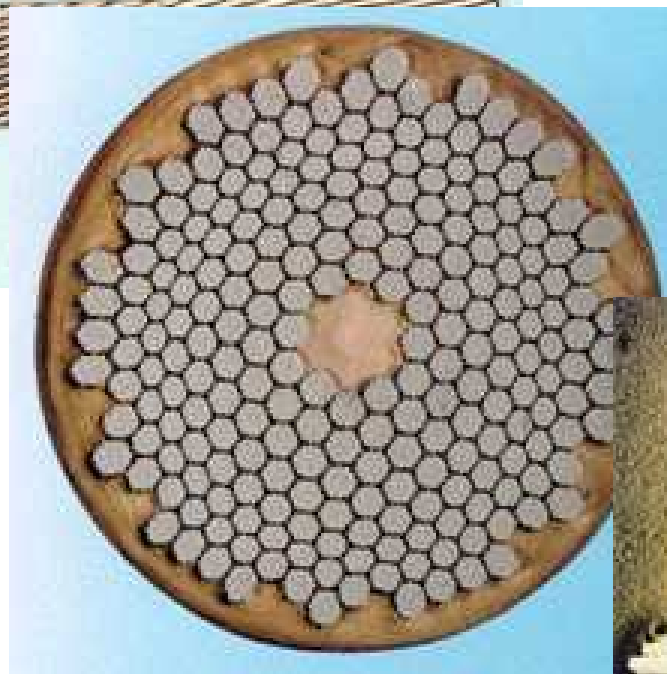
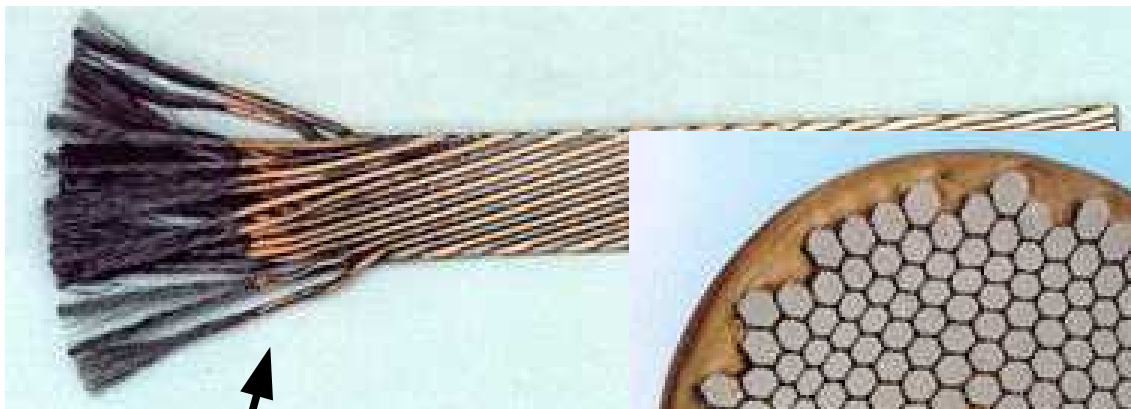
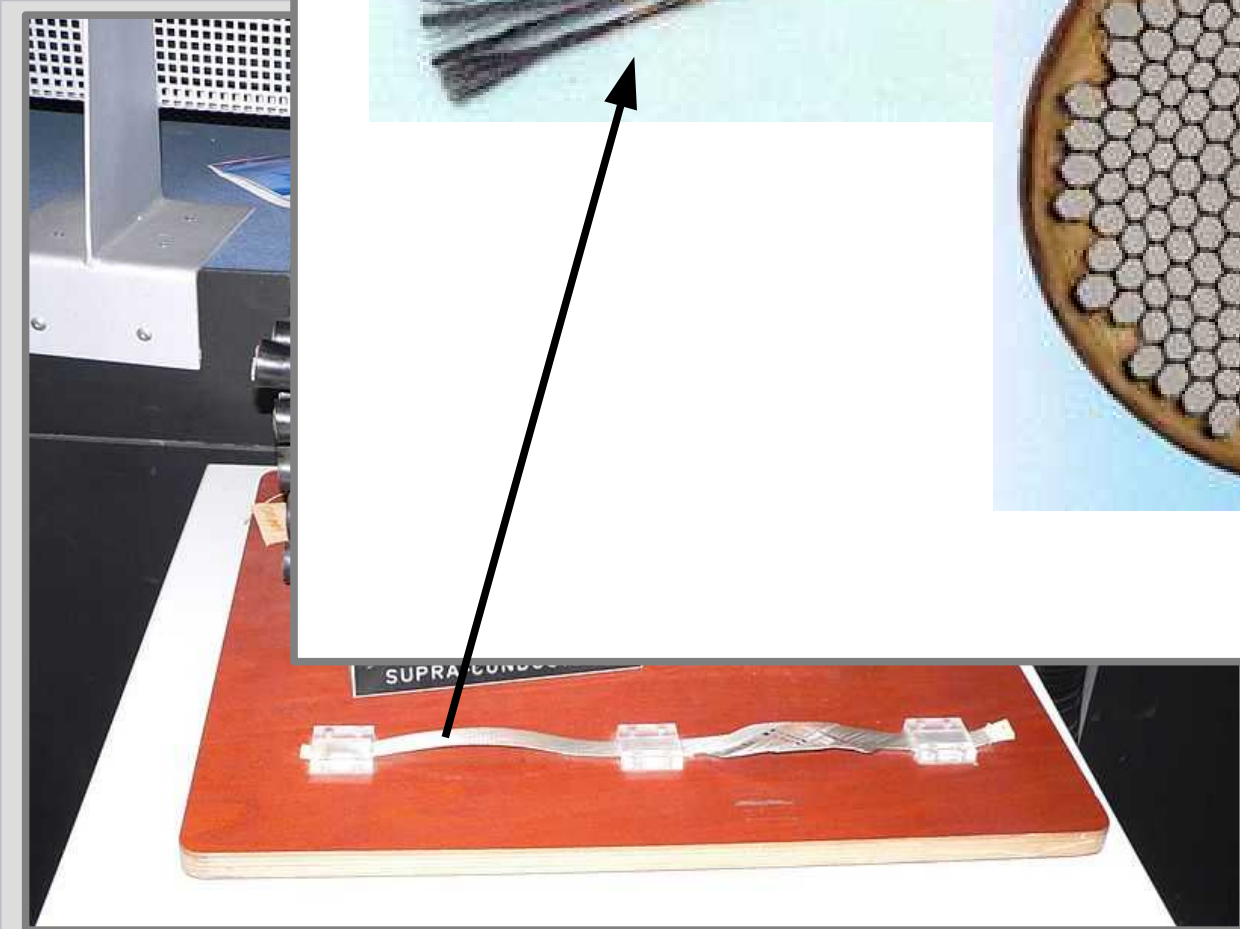


Спектр возбуждений в нормальном металле (пунктир) и сверхпроводнике (сплошная линия). Штрих-пунктирная линия показывает построение критической скорости Ландау. Нулевой уровень соответствует энергии основного состояния.

Сверхпроводящий кабель БАК



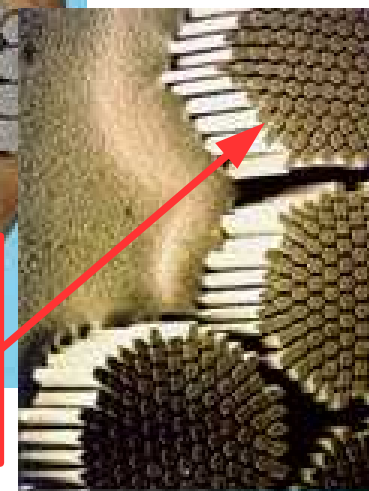
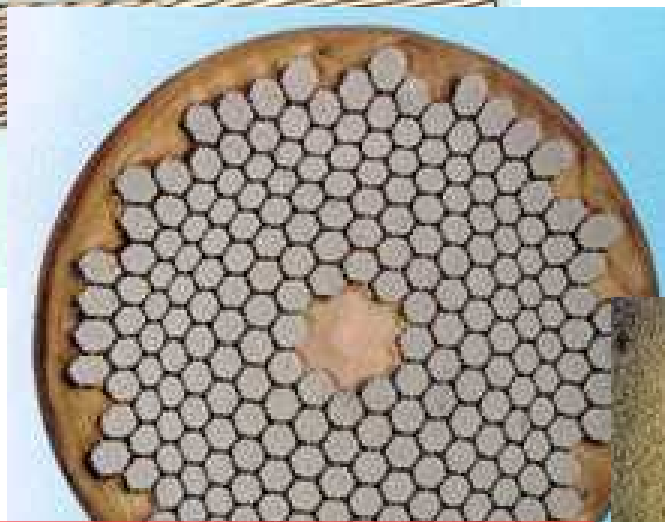
<https://en.wikipedia.org/wiki/Superconductivity>



Сверху: многожильный кабель (36 жил, полный диаметр около 15 мм), снизу: сечение одной жилы (диаметр около 1.5 мм) в разных масштабах. Каждая жила содержит около 6300 «волосков» сверхпроводящего провода (NbTi) толщиной около 6 мкм в матрице из бескислородной меди.

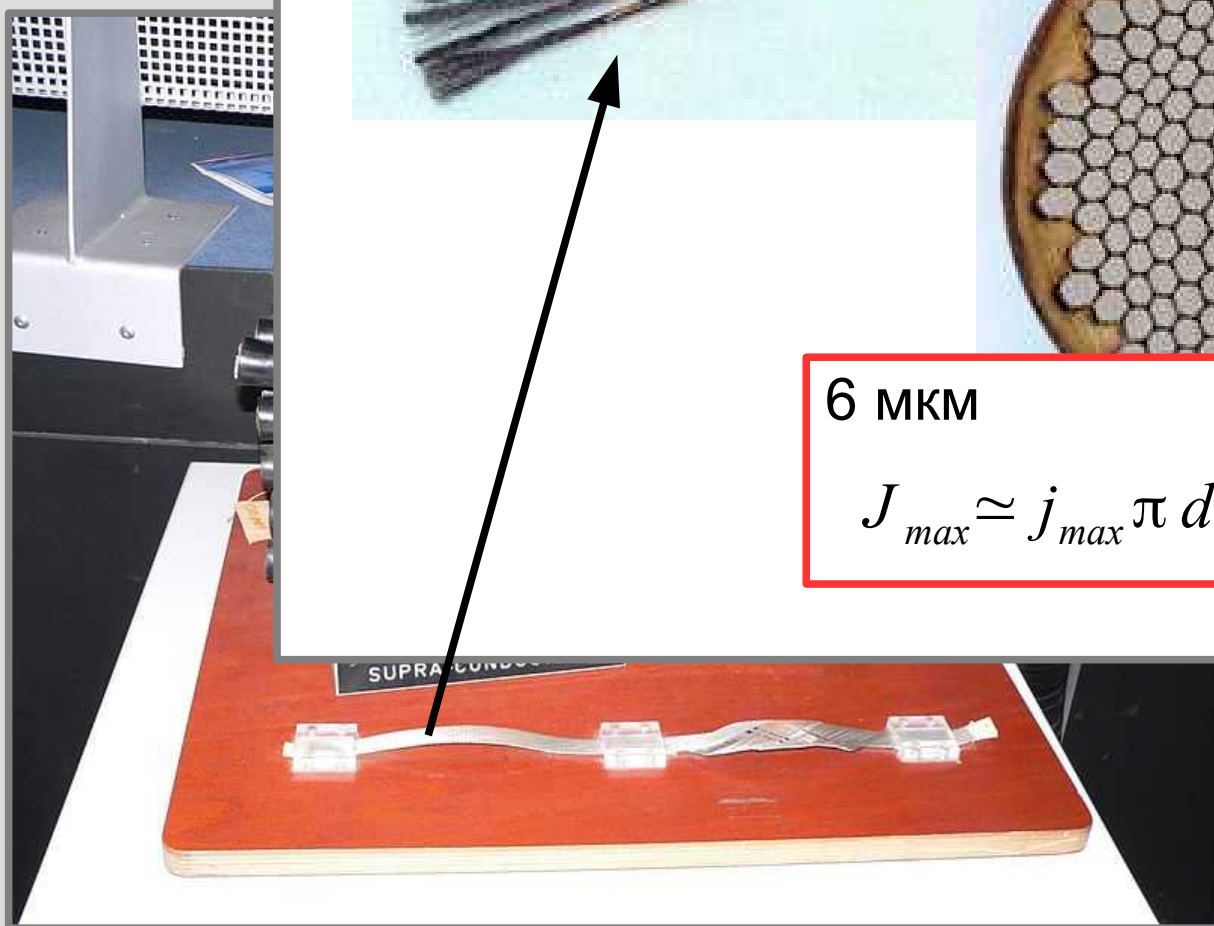
<https://en.wikipedia.org/wiki/Superconductivity>

CERN, LHC Machine Outreach: Super conducting cable, 2015, <http://lhc-machine-outreach.web.cern.ch/lhc-machine-outreach/components/cable.htm>



6 мкм

$$J_{max} \cong j_{max} \pi d \lambda \sim 1 \text{ A}$$

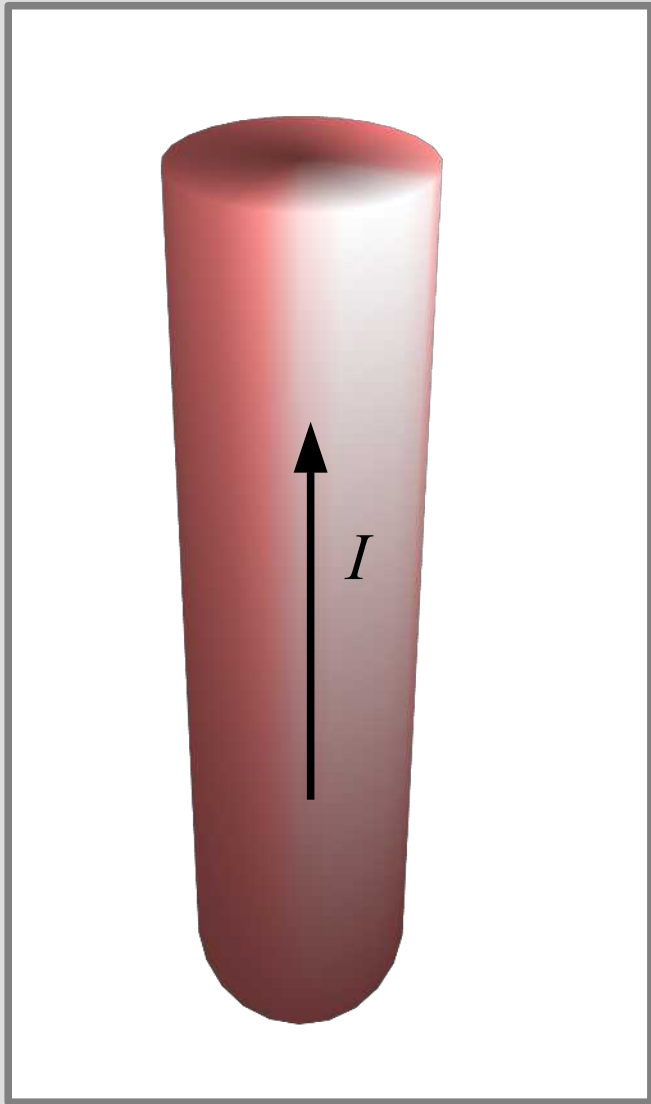


Сверху: многожильный кабель (36 жил, полный диаметр около 15 мм), снизу: сечение одной жилы (диаметр около 1.5 мм) в разных масштабах. Каждая жила содержит около 6300 «волосков» сверхпроводящего провода (NbTi) толщиной около 6 мкм в матрице из бескислородной меди.

<https://en.wikipedia.org/wiki/Superconductivity>

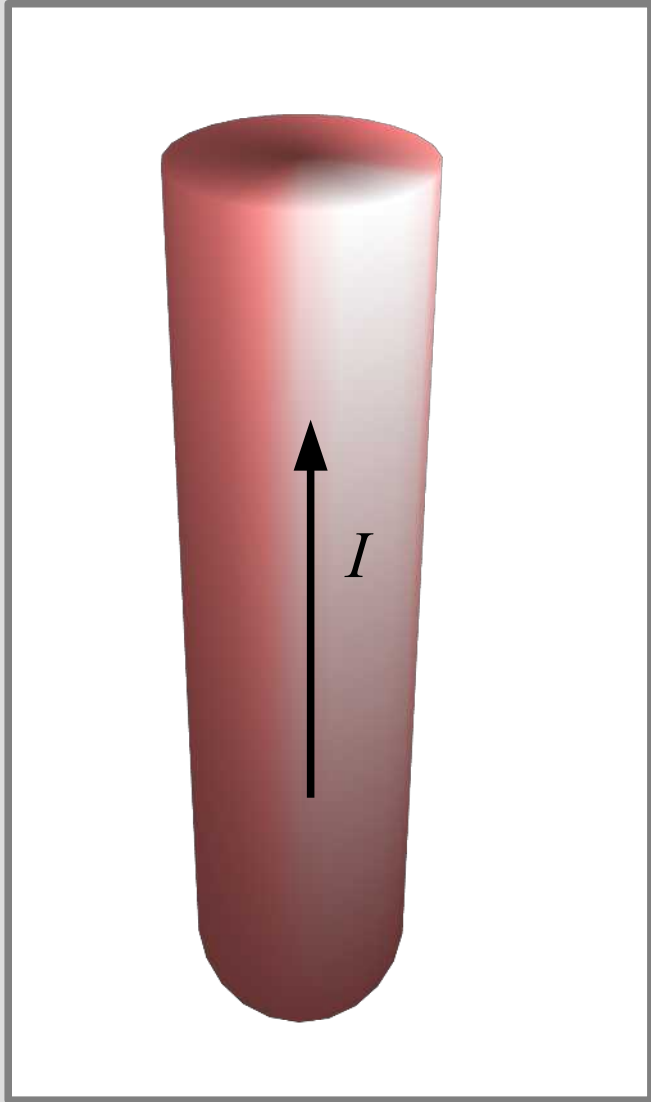
CERN, LHC Machine Outreach: Super conducting cable, 2015, <http://lhc-machine-outreach.web.cern.ch/lhc-machine-outreach/components/cable.htm>

Критическое поле сверхпроводника



$$H_c = \frac{2I_c}{cr} = \frac{4\pi r \lambda j_c}{cr} = \frac{4\pi}{c} \lambda j_c$$

Критическое поле сверхпроводника



$$H_c = \frac{2I_c}{cr} = \frac{4\pi r \lambda j_c}{cr} = \frac{4\pi}{c} \lambda j_c$$

$$1) H_c \propto \Delta \propto T_c$$

$$2) [\text{СИ}] H_c = \frac{I_c}{2\pi r} = \lambda j_c \sim \\ \sim 10^6 \text{ А/м} \rightarrow B_c \sim 1 \text{ Тл}$$

Часть 4. Элементы теории БКШ. Длина когерентности. Вихри Абрикосова.

Куперовские пары

- 1) Сверхпроводящее состояние — основное состояние сверхпроводника
- 2) Сверхпроводящее состояние допускает макроскопический бездиссипативный ток
- 3) Квантование потока показывает, что заряд переносят пары электронов

Куперовские пары

- 1) Сверхпроводящее состояние
состояние сверхпроводника
- 2) Сверхпроводящее состояние
макроскопический бездиссип
- 3) Квантование потока показывает, что заряд
переносят пары электронов

Макроскопическое число
фермионов оказывается в
одном квантовом состоянии

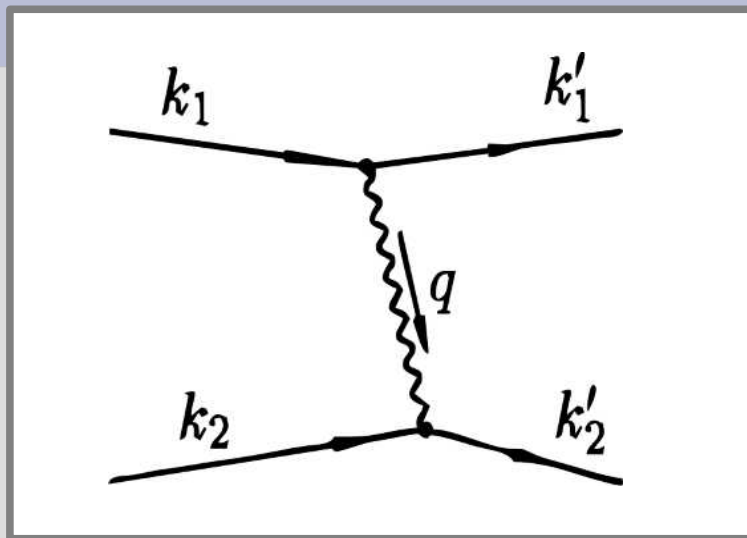
Куперовские пары

- 1) Сверхпроводящее состояние — это состояние сверхпроводника
- 2) Сверхпроводящее состояние — это макроскопический бездиссипативный ток
- 3) Квантование потока показывает, что заряд переносят пары электронов

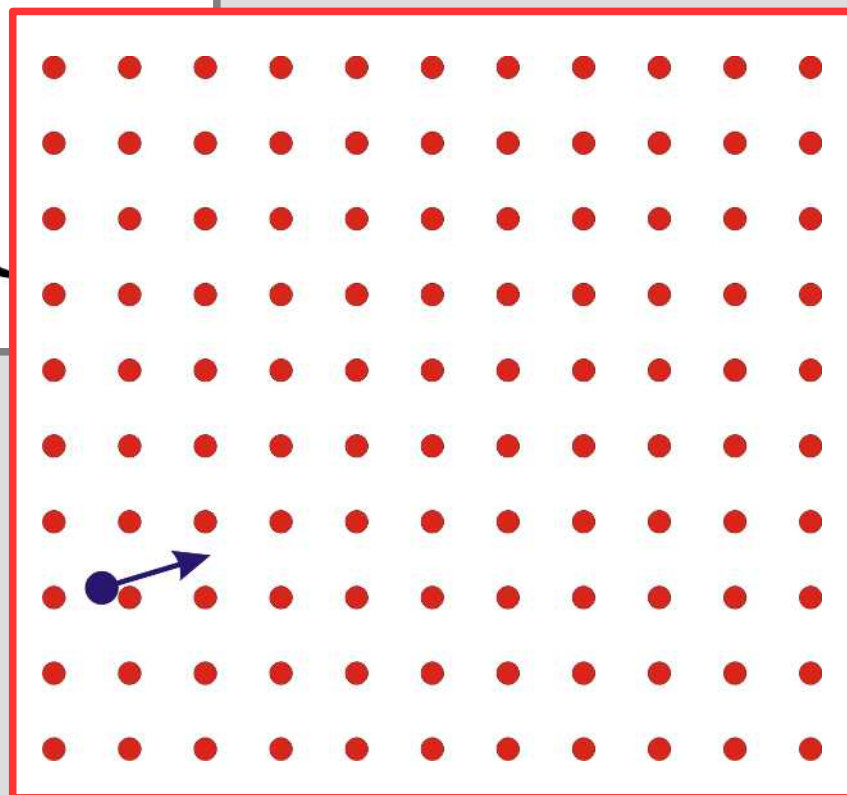
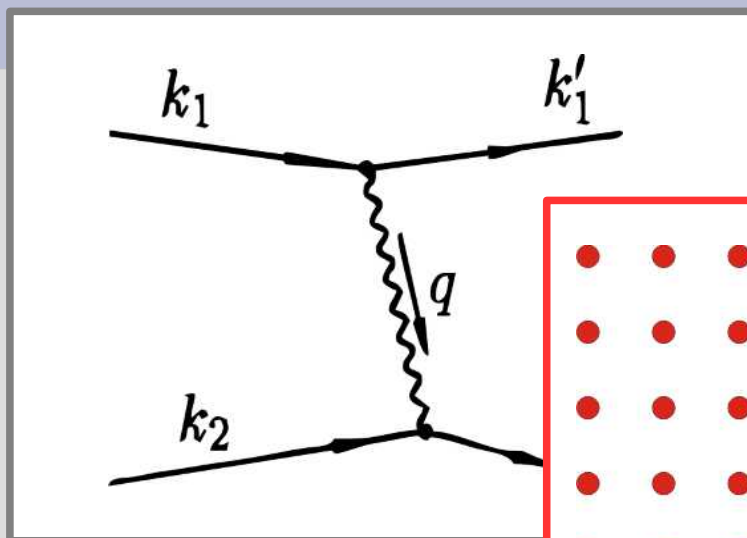
Макроскопическое число *фермионов* оказывается в одном квантовом состоянии

Связанное состояние двух частиц со спином $1/2$ имеет спин 0 или 1 — и является *бозоном!*

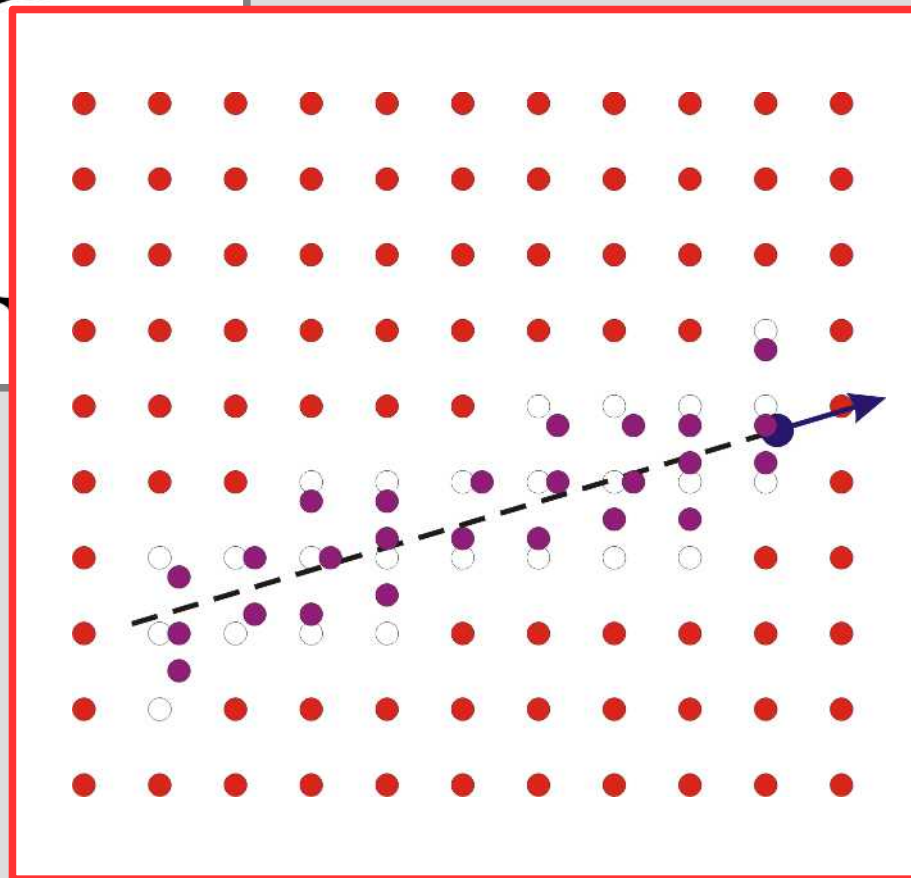
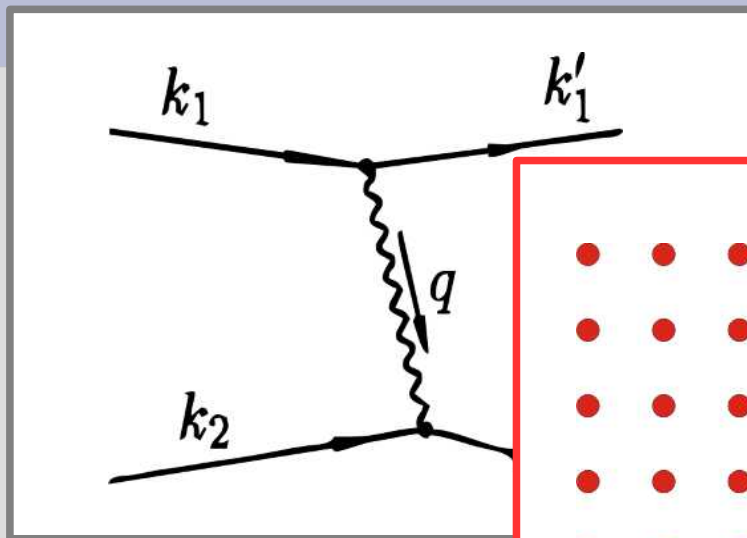
Формирование куперовских пар



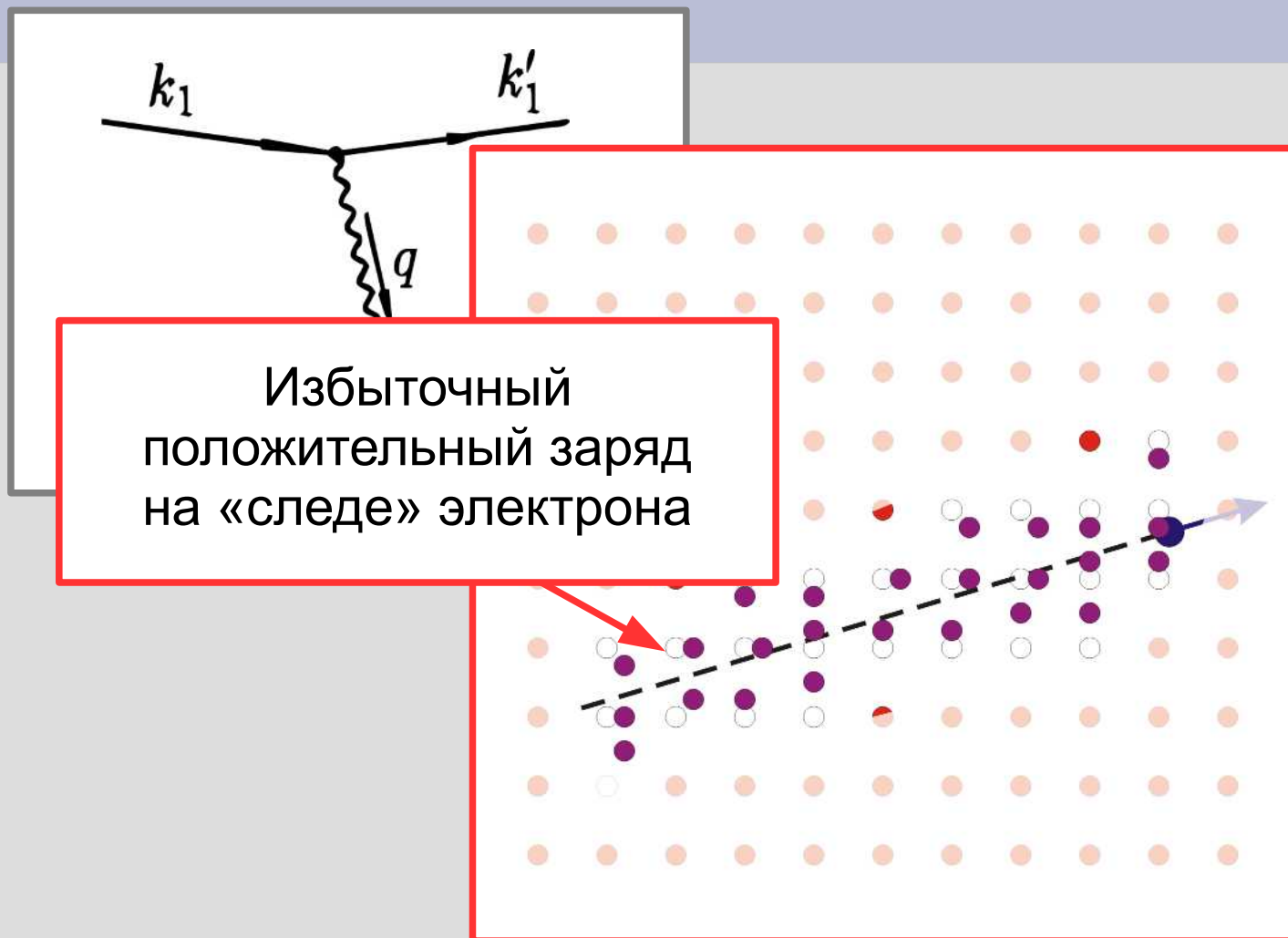
Формирование куперовских пар



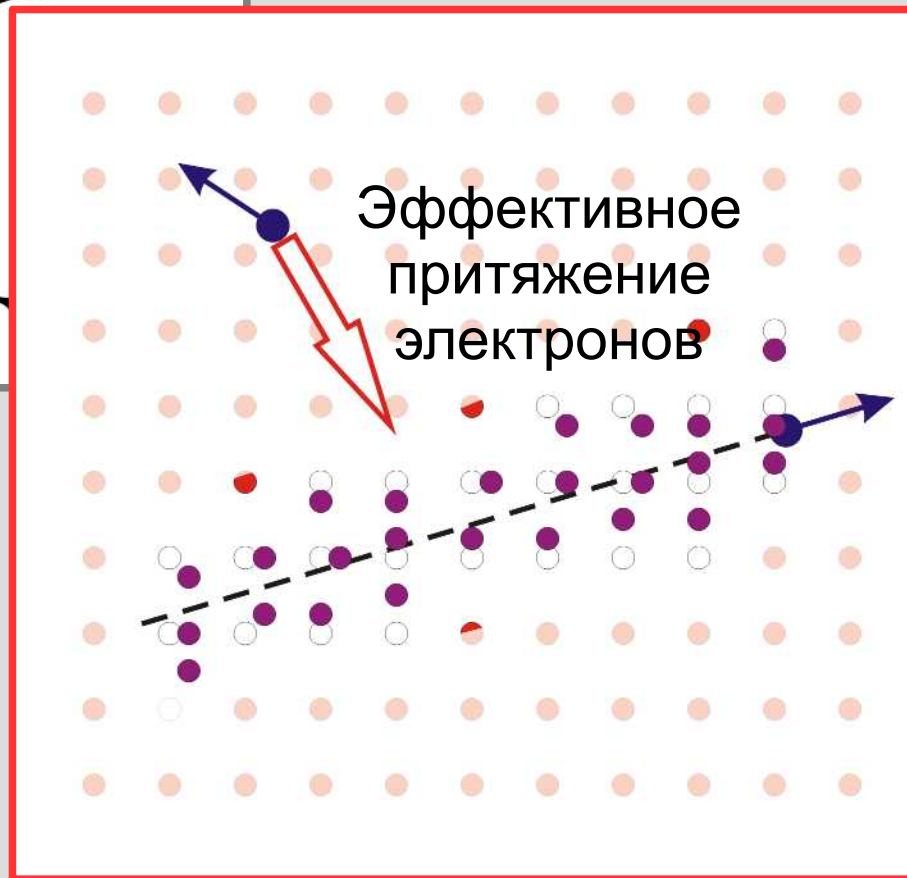
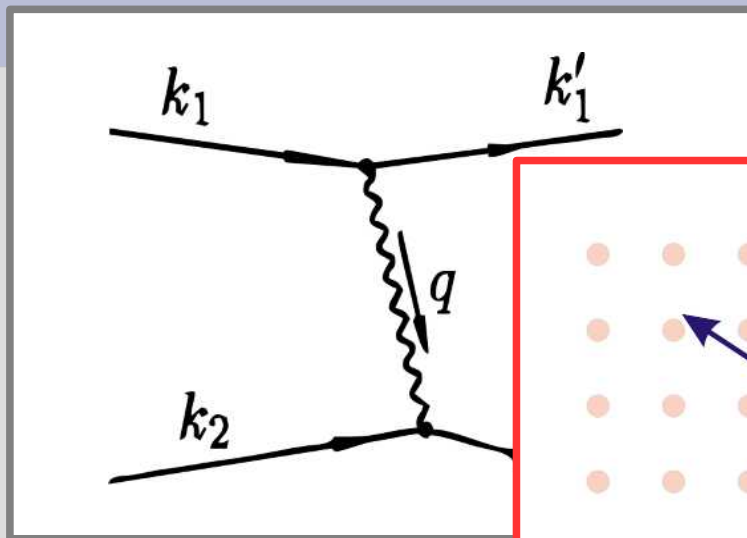
Формирование куперовских пар



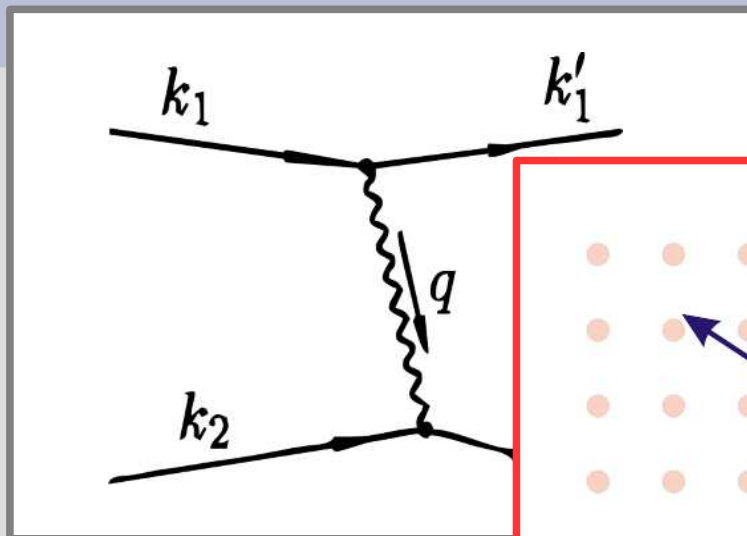
Формирование куперовских пар



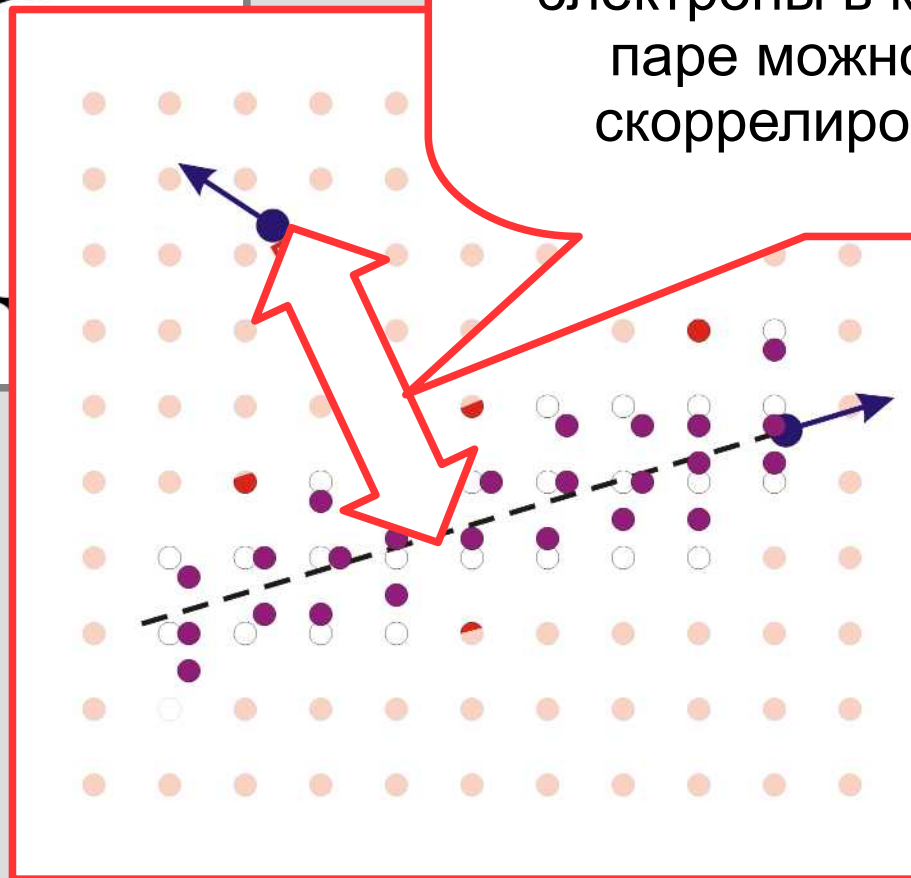
Формирование куперовских пар



Формирование купер

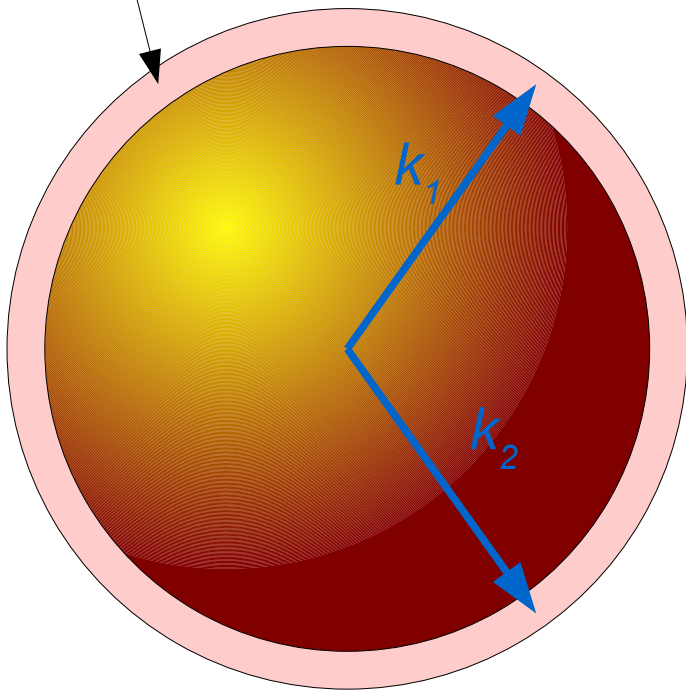


Длина когерентности ξ —
характерный
пространственный
масштаб, на котором
электроны в куперовской
паре можно считать
скоррелированными.

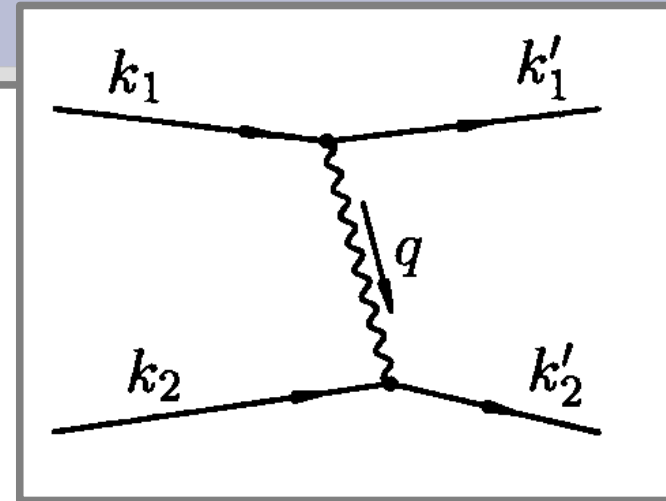


Какие электроны образуют куперовскую пару?

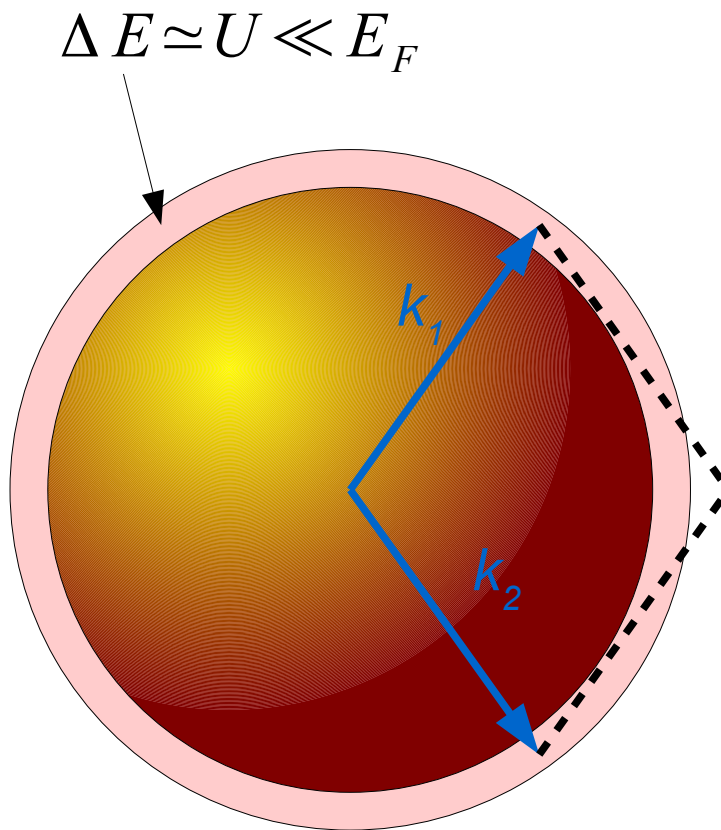
$$\Delta E \simeq U \ll E_F$$



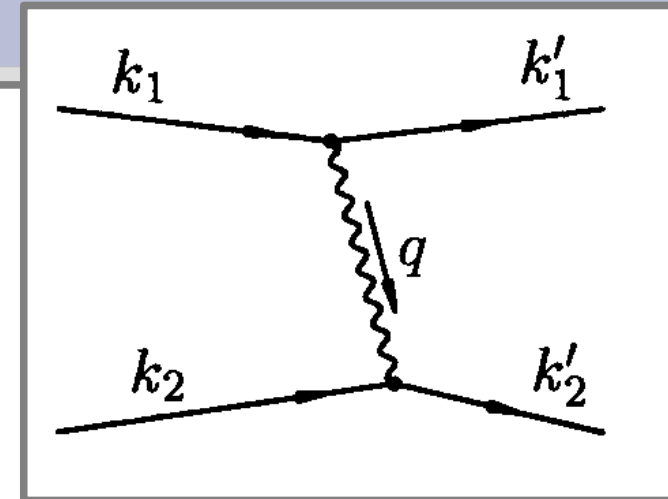
$$\vec{k}_1 + \vec{k}_2 = \vec{k}_1' + \vec{k}_2'$$



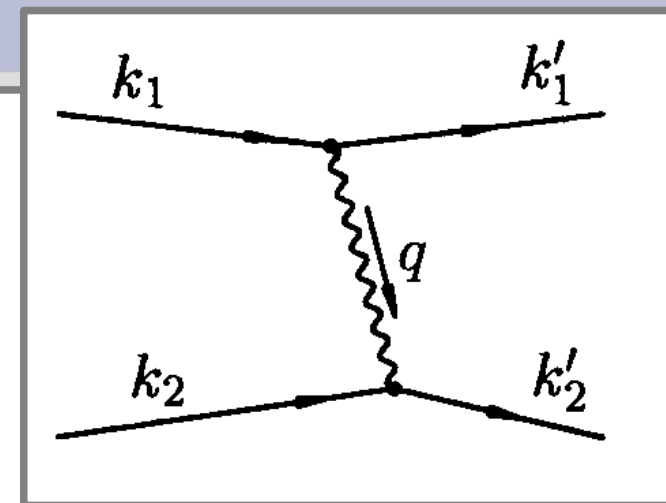
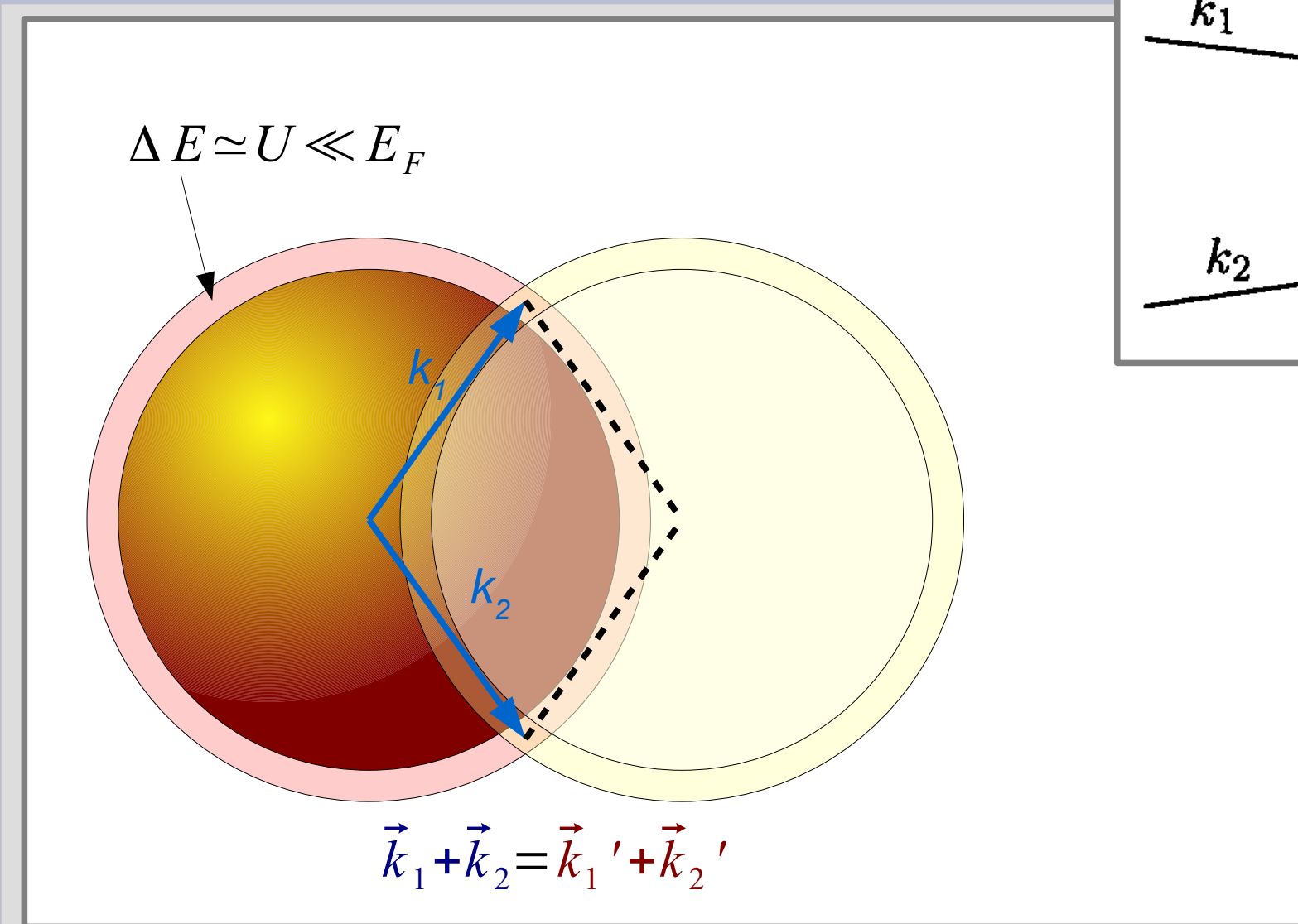
Какие электроны образуют куперовскую пару?



$$\vec{k}_1 + \vec{k}_2 = \vec{k}_1' + \vec{k}_2'$$



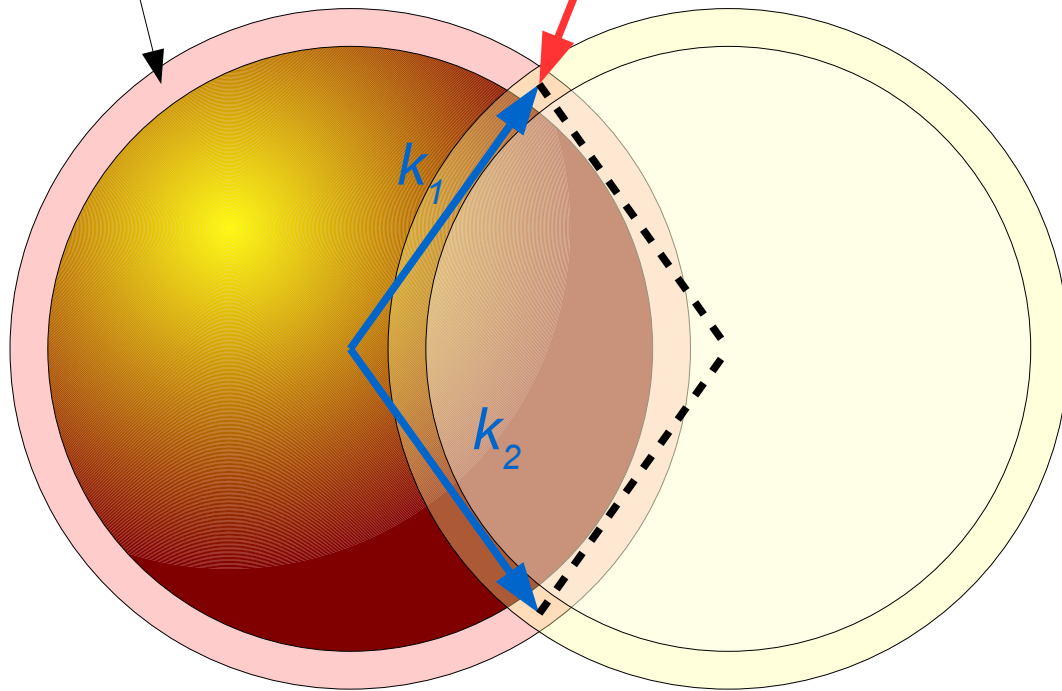
Какие электроны образуют куперовскую пару?



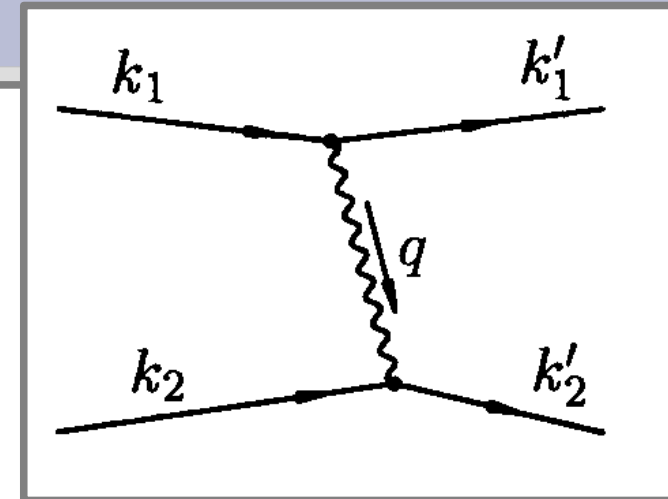
Какие электроны образуют куперовскую пару?

кольцевой слой «разрешенных» значений k_1' и k_2'

$$\Delta E \simeq U \ll E_F$$



$$\vec{k}_1 + \vec{k}_2 = \vec{k}_1' + \vec{k}_2'$$

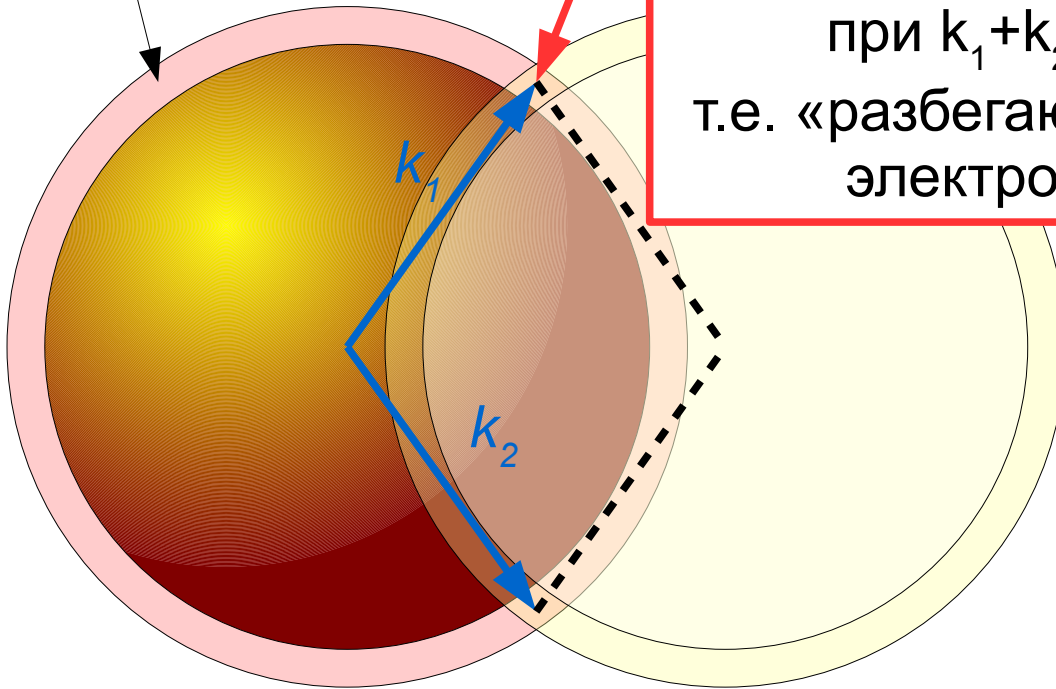


Какие электроны образуют куперовскую пару?

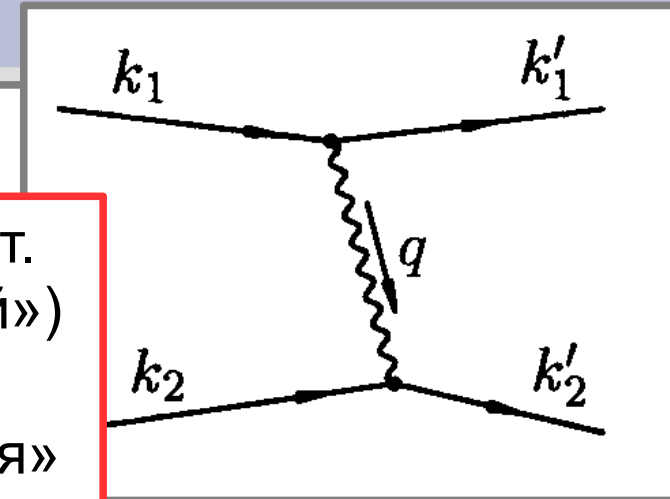
кольцевой слой
«разрешенных»
значений k' и k'

максимальный стат.
вес («шаровой слой»)
при $k_1 + k_2 = 0$,
т.е. «разбегающиеся»
электроны

$$\Delta E \simeq U \ll E_F$$



$$\vec{k}_1 + \vec{k}_2 = \vec{k}_1' + \vec{k}_2'$$

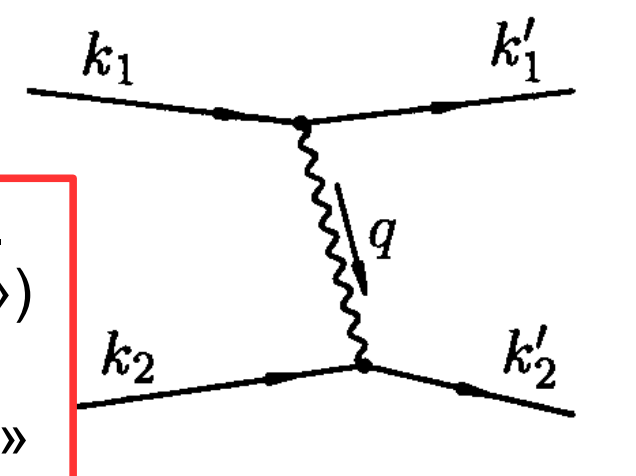


Какие электроны образуют куперовскую пару?

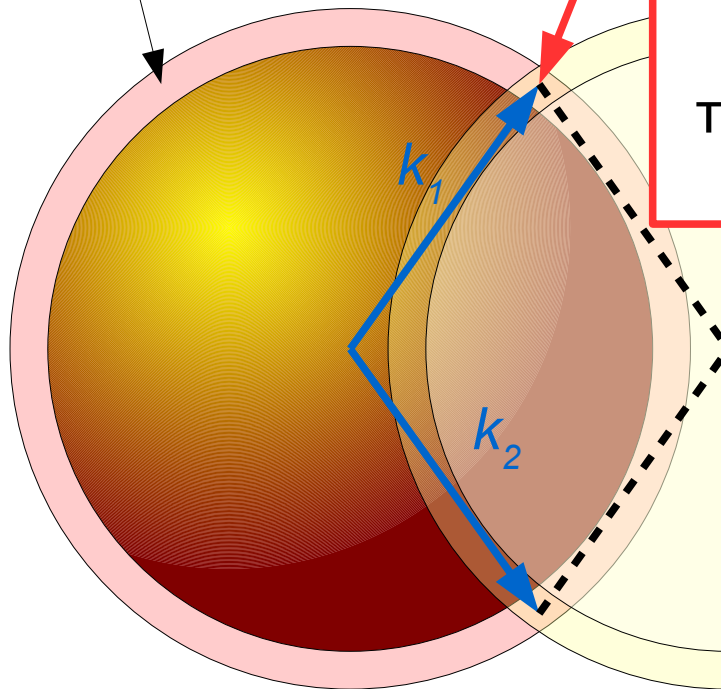
кольцевой слой
«разрешенных»
значений k' и k'

максимальный стат.
вес («шаровой слой»)
при $k_1 + k_2 = 0$,
т.е. «разбегающиеся»

э



$$\Delta E \simeq U \ll E_F$$



$$\frac{\delta k}{k_F} \sim \frac{U}{E_F} \sim \frac{\Delta}{E_F}$$

$$\xi \sim \frac{1}{\delta k} \sim a \frac{E_F}{\Delta} = 1000 \dots 10000 \text{ \AA}$$

$$\vec{k}_1 + \vec{k}_2 = \vec{k}_1' + \vec{k}_2'$$